

بهینه‌سازی چندهدفه تخصیص کاربری اراضی با استفاده از الگوریتم NSGA-II (مورد شناسی: منطقه ۱۰ شهر تبریز)

حسن محمودزاده* (دانشیار جغرافیا و برنامه‌ریزی شهری، گروه جغرافیا و برنامه‌ریزی شهری، دانشکده برنامه‌ریزی و علوم محیطی، دانشگاه تبریز، ایران)

زهرا پیشه‌ور (کارشناسی ارشد مطالعات شهری و روسایی، گروه سنجش از دور و سیستم اطلاعات جغرافیایی، دانشکده برنامه‌ریزی و علوم محیطی، دانشگاه تبریز، تبریز، ایران)

مهدي هريسيچيان (دانشجوی دکتراي جغرافيا و برنامه‌ریزی شهری، گروه جغرافیا و برنامه‌ریزی شهری، دانشکده برنامه‌ریزی و علوم محیطی، دانشگاه تبریز، تبریز، ایران)

چکیده

بهینه‌سازی تخصیص کاربری اراضی به عنوان یکی از بهترین مدل‌ها برای حفاظت زیست‌محیطی و هماهنگ‌کننده اهداف متضاد و مختلف اقتصادی، اجتماعی و غیره کاربری اراضی است. منطقه ۱۰ کلان‌شهر تبریز در زمینه تناسب و توزیع بهینه کاربری‌ها دارای نارسایی بوده است؛ از این‌رو این تحقیق با هدف بهینه‌سازی تخصیص کاربری اراضی منطقه ۱۰ کلان‌شهر تبریز انجام گرفته است. پژوهش حاضر با ماهیت توسعه‌ای - کاربردی و روش توصیفی - تحلیلی در زمینه تخصیص کاربری اراضی با هشت کاربری اصلی: مسکونی به تفکیک سه نوع طبقاتی، تجاری، آموزشی، درمانی، فرهنگی، فضای سبز، ورزشی، تجارتی-مسکونی به تفکیک سه نوع طبقاتی، به وسیله الگوریتم ژنتیک از نوع مرتب‌سازی نامغلوب نسخه دوم (NSGA-II) انجام گرفته است. بدین منظور از چهارتابع هدف حداقل‌گیر خطي: بيشينه‌سازی FAR، بيشينه‌سازی سود اقتصادي، بيشينه‌سازی سازگاري، بيشينه‌سازی فشردگي استفاده شده است. هشت نوع کاربری اراضي اصلی و هشت محدوديت تعريف شد و برای ترکيب مقدار عددی تابع هدف بعد از نرمال‌سازی، روش مجموع وزن دار به کار گرفته شد. عملگرهای NSGA-II اصلاح شد و مدل پيشنهادي در زبان برنامه‌نويسی MATLAB توسعه داده شد. مدل با توجه به محدوديت‌های مدل‌سازی اجرا شده و برای به تصویرکشیدن خروجی مدل، روش کدگذاری و پژوهش حل‌ها که خروجی را با نرم‌افزار GIS مرتبط می‌کرد، تعریف شد. نتایج، نشان‌دهنده کارآیی و اثربخشی مدل پيشنهادي و پتانسیل آن در پشتیبانی از فرایند برنامه‌ریزی شهری و تصمیم‌سازی است. این پتانسیل از طریق تولید آلترناتیووهای گوناگون کاربری و نمایش راه حل‌های بهینه به دست آمده است. در نهایت نتایج نشان داد که در صورت بهینه‌سازی کاربری اراضی در منطقه ۱۰ کلان‌شهر تبریز، مقدار FAR به اندازه ۱۳.۰۴ درصد و سود اقتصادی به اندازه ۲۱.۰۶ درصد و سازگاری - فشردگی بین کاربری‌ها به ترتیب ۲.۳ و ۴.۶ درصد افزایش می‌یابد.

تاریخ دریافت: ۷ آبان ۱۳۹۸

تاریخ پذیرش: ۱۰ خرداد ۱۳۹۹

صفحات: ۱۶۳-۱۹۰



کلید واژه‌ها:

بهینه سازی چندهدفه، تخصیص
کاربری اراضی، الگوریتم NSGA-II، GIS، کلان‌شهر تبریز، منطقه ۱۰.

* نویسنده مسئول: دکتر حسن محمودزاده

پست الکترونیک: mahmoudzadeh@tabrizu.ac.ir

مقدمه

در بر می گیرد که گاهاً این اهداف با یکدیگر در تضاد هستند؛ در صورتی که این کار به درستی انجام نشود، زیان های جبران ناپذیری را به محیط زیست، اکولوژی و اقتصاد منطقه و حتی جوامع انسانی وارد خواهد کرد؛ از این رو استفاده از فن های دقیق محاسباتی در این کار اجتناب ناپذیر است. همچنین تصمیم گیری های مدیران این زمینه، از عوامل کمی و کیفی مختلف تأثیر می پذیرد که عموماً با یکدیگر در تعارض اند، به گونه ای که بهینه سازی یک عامل موجب تخریب عوامل دیگر می شود (معصومی و همکاران، ۱۳۸۹: ۲). بررسی چنین موضوعاتی به صورت مستقیم بسیار مشکل است. برای شناخت تأثیر کاربری های مختلف باید از مدل های کامپیوترا استفاده کرد (Deb et al, 2005: 503).

استفاده از ابزاری قدرمند در زمینه تغییر کاربری، ارائه و تحلیل داده های مکانی کاربری اراضی همانند سامانه اطلاعات جغرافیایی GIS درجهت حل این گونه مسائل امروزه اجتناب ناپذیر است. از طرفی بسیاری از روش ها و توابع استاندارد امروزی GIS در حل بعضی از مسائل پیچیده مکانی ناتوان بوده و استفاده از الگوریتم های هوشمند از جمله الگوریتم های بهینه یابی چنددهدفه می تواند در حل این گونه مسائل تصمیم گیری مکانی مفید باشد (Herzig, 2008:4).

از میان روش های متنوع برنامه ریزی چنددهدفه، روش های تکاملی به دلیل کمترین دخالت نظر کارشناسان در جواب نهایی، تولید چندین جواب بهینه به جای یک جواب، قابلیت بهینه سازی مسائل با بیش از دو تابع به راحتی و... توانایی خاصی در بهینه سازی مسائل چنددهدفه دارند. روش های تکاملی روش هایی هستند که از تکامل طبیعی پیروی و جستجو را به سوی راه حل بهینه هدایت می کنند. خروجی الگوریتم های تکاملی چنددهدفه، خروجی از راه حل ها است. قابلیت پیدا کردن چندین راه حل بهینه در یک اجرا، الگوریتم های تکاملی را برای حل مسائل

گسترش جمعیت شهری و تداوم تغییرات آب و هوايی توسعه شهرهای پایدار را با چالش روبرو می کند (Ward et al., 2017). دستیابی به اهداف پایداری محیط زیست جهانی نیاز به حفظ تنوع زیستی و همچنین تضمین ارائه خدمات اکو سیستم مانند آب شرب، غذا یا چوب دارد؛ در حالی که این اهداف به طور غیرقابل پیوندی با یکدیگر پیوند می خورند، اغلب به طور جداگانه مورد بررسی قرار گرفته و از یکدیگر مدیریت می شوند (Liu et al., 2015). استفاده از منابع پایدار و استراتژی های مدیریتی که باعث تقویت چندمنظوره چشم انداز می شوند، نه تنها باعث ایجاد درک متقابل چندگانه بین خواسته های متعدد می شوند؛ بلکه همچنین راه حل هایی را نیز برای به حداقل رساندن مبادلات بین خود می یابند (Strauch et al, 2019: 241) از طرف دیگر، کمبود فزاینده اراضی شهری و تقاضاهای رقابتی در مورد استفاده از آن، نیاز به راه حل های برنامه ریزی نوآورانه ای دارد که به طور مناسب مدیریت رواناب های رگباری، تولید انرژی، تفریح و سایر اولویت های اجتماعی را به تعادل برساند (Macro et al, 2018: 42) استفاده کرد که بتواند اهداف مختلف و متضاد شهری را در کنار یکدیگر دیده و تخصیص هر کاربری به مناسب ترین زمین را با ایجاد سازگاری متعادل بین آن ها به انجام رساند؛ از این رو امروزه برنامه ریزی ای تصمیم گیری برای استفاده بهینه از زمین بسیار پیچیده و دشوار شده که دلیل آن، وجود اهداف مختلف و متضادی همچون افزایش بهره وری از زمین به همراه سازگاری بین کاربری ها و رسیدن به حداکثر منفعت اقتصادی و غیره است (Datta et al, 2007: 2).

مسائل تصمیم گیری مکانی مانند تخصیص کاربری نه تنها نیازمند روش های فنی است؛ بلکه ابعاد اقتصادی، اجتماعی، زیست محیطی و سیاسی را نیز

مالکیت مطرح شد؛ ولی با گسترش شهرنشینی ابعاد و محتوای این مفهوم، روزبه روز وسیع تر شد (Ziari, 2009). ۲: کاربری اراضی شهری و چگونگی توزیع فضایی- مکانی آن‌ها، یکی از مهم‌ترین کارکردها به منظور استفاده بهینه از فضای شهری است. به طور کلی، تعریف کاربری زمین، مشخص کننده انواع گوناگون استفاده از زمین، تراکم هر کاربری بر روی هر قطعه زمین، ارتفاع، اندازه و سیمای ساختمان‌ها، چگونگی ترکیب و تداخل کاربری‌های تجاری، مسکونی، بهداشتی در هر محله است (رضویان، ۱۳۸۱: ۳). در تقسیم صنایع و کارکردهای شهری، تغییرات جدیدی اتفاق افتاده است. در عین حال، کاربری اراضی در جهان دستخوش تحولات شدیدی شده است و انواع کاربری اراضی که نشان‌دهنده منافع بخش‌های مختلف است، دارای تعارضات فضایی هستند (Amundson et al., 2015; Bryan et al., 2018; Serra et al., 2008) که با گسترش سریع اراضی شهری و تبدیل شدید اراضی زراعی نمایان‌تر می‌شوند (Chen et al, 2020: 1). همچنین گذار کاربری اراضی، معکوس کننده توسعه اقتصادی- اجتماعی است. در عین حال، مشکلات مختلف ناشی از فرایند توسعه اقتصادی و اجتماعی نیز می‌تواند از طریق گذار کاربری اراضی قابل حل باشد (Long & Qu, 2018: 111-120). Long & Qu, 2012; 2018) این شکل گرفته است. این ساختار دارای دو شکل فضایی و غیرفضایی است. مورفولوژی کاربری اراضی در یک نقطه معین، هم نتیجه گذار کاربری اراضی در دوره قبل و هم شروع آن

بهینه‌سازی چندهدفه مناسب می‌سازد. بهینه‌سازی تخصیص کاربری اراضی از راهکارهای مناسب برای حفاظت خاک و افزایش بازده اقتصادی است. مدل‌های بهینه‌سازی در برنامه‌ریزی کاربری اراضی باید انعطاف‌پذیر، توانا و کارآمد باشند؛ به ویژه مهم است که ابزارهای به کاررفته توانایی حل مسئله به صورت مکانی را داشته باشد، بدون اینکه نیازی به تبدیل راه حل بهینه به الگوی مکانی باشد. البته توانایی حل مسئله با چند هدف متضاد نیز می‌باشد وجود داشته باشد. استفاده از الگوریتم ژنتیک برای جستجو و بهینه‌سازی، با شرایط و موارد ذکر شده مطابقت دارد و بستر مناسبی را برای تصمیم‌گیری منطقی و مستدل فراهم می‌کند (شاپیگان و همکاران، ۱۳۹۱: ۳). الگوریتم‌های ژنتیک در کنار سیستم اطلاعات مکانی یک ترکیب بالقوه قوی برای حل مسائل بهینه‌سازی ترکیبی بزرگ مقیاس و مکانی ارائه می‌کنند. الگوریتم ژنتیک با مرتب‌سازی نامغلوب یکی از پرکاربردترین و قدرتمندترین الگوریتم‌های موجود برای حل مسائل بهینه‌سازی چندهدفه است که نخستین بار Deb و همکاران، آن را پیشنهاد دادند (Deb et al, 2002: 182-197) مزایای عمدۀ این روش سرعت بالا، وجود نخبه‌گرایی، عدم نیاز به جمعیت خارجی و سهولت نسبی پیاده‌سازی است (Deb et al, 2002: 182-197; Beheshtifar, 2014). این روش هدف این تحقیق، تدوین مدل بهینه‌سازی چندهدفه برای تخصیص کاربری اراضی مناسب به واحدهای مختلف اراضی کل منطقه ۱۰ کلان شهر تبریز با استفاده از الگوریتم تکاملی NSGA-II است.

مبانی نظری

اصطلاح و مفهوم کاربری اراضی و توزیع عادلانه منابع و خدمات شهری، ابتدا در غرب به منظور نظارت بیشتر دولتها بر نحوه استفاده از اراضی و حفظ حقوق

طبیعی و انسانی را به یکدیگر متصل می‌کند و تأثیر مستقیمی بر تمام فعالیت‌های انسانی دارد. مدل‌های شبیه‌سازی کاربرد آتی زمین به اشکال گوناگون وجود دارند، اما بیشتر آن‌ها بر تعداد محدودی نظریات و روش‌ها قرار دارند؛ برای نمونه، نظریات اقتصادی اغلب برای توضیح الگوهای کاربرد زمین و پویایی آن‌ها به کار گرفته‌می‌شوند که این مدل‌ها و روش‌ها عبارت‌اند از: اصول اقتصادی، میان‌کنش فضایی، مدل سلول‌های خودکار و فنون بهینه‌سازی. زمین بنا به سه دلیل یک دارایی ویژه اقتصادی تلقی می‌شود. نخست: از آنجاکه عرضه زمین ثابت است، روابط عرضه و تقاضای ویژه‌ای بر آن حاکم است. دوم: هر قطعه از زمین (به همراه بافت یگانه خود در مفهوم کیفیت خاک، دسترسی به تسهیلات) مکان ثابتی دارد. سوم: کاربرد زمین در یک مکان معین بر پیرامون خود تأثیرگذار است. از اولین نظریات در این مورد می‌توان به نظریه ریکاردو و فون تانن اشاره کرد که نظریه‌شان اساس قیمت زمین و نظریات کاربرد زمین را شکل داده‌اند. گروه کلاسیک مدل‌های کاربرد زمین براساس نظریه مدل‌سازی میان‌کنش فضایی قرار دارند. میان‌کنش فضایی در متن اجتماعی-جغرافیایی جای دارد که به هرگونه جابه‌جایی در فضا درنتیجه فرایندهای انسانی، اشاره دارد. روش‌های CA برگرفته از علم ریاضیات که برای نسخه‌برداری فرایندهای پیچیده فضایی، براساس قوانین ساده تصمیم عمل می‌کنند. هر سلول یک وضعیت معین (کارکرد) را نشان می‌دهد که تأثیرپذیر از سوی سلول‌های محیط پیرامون است. درجه و سمت و سوی میان‌کنش بین کارکردها توسط قوانین تغییر تعریف شده است. یکی از رهیافت‌های مدل‌سازی، فنون بهینه‌سازی است. با به کارگیری فنون بهینه‌سازی ریاضی چون برنامه‌ریزی خطی، وضعیت بهینه کاربرد زمین را با ارائه مجموعه‌ای از شرایط اولیه معیارها و متغیرهای تصمیم محاسبه می‌کند. ساده‌ترین کاربرد

در دوره بعدی است. گذار کاربری اراضی یک مورفو‌لوژی ثابت یا نهایی کاربری اراضی نیست؛ بلکه یک روند تکاملی مداوم مورفو‌لوژی کاربری اراضی است. گذار کاربری اراضی در دو مفهوم غالب و مغلوب گسترش می‌یابد (Ibid). مورفو‌لوژی غالب به ساختار کاربری اراضی در یک منطقه خاص طی یک دوره خاص اشاره می‌کند و دارای ویژگی‌هایی مانند کمیت و الگوی فضایی انواع کاربری اراضی است. در حالی که مورفو‌لوژی مغلوب، مورفو‌لوژی ویژه‌ای است که به مورفو‌لوژی غالب بستگی دارد؛ اما تنها با روش‌های تجزیه و تحلیل، آزمایش، نظارت و بررسی قابل مشاهده است و شامل ویژگی‌های کاربری اراضی در مورد جنبه‌های کیفی، حقوق مالکیت، حالت‌های مدیریتی، رودهای و خروجی‌ها است (Long, 2012).

برنامه‌ریزی کاربری اراضی علم تقسیم زمین و مکان برای کاربردها و مصارف مختلف زندگی است؛ به عبارتی دیگر، برنامه‌ریزی کاربری اراضی را می‌توان فرایند تخصیص کاربری‌های مختلف همانند کشاورزی، صنعتی، مسکونی و تفریحی، به واحد مشخصی از زمین در یک ناحیه تعریف کرد (Stewart et al, 2004: 2313-2293). تعیین مساحت موردنیاز (تقاضا) و تناسب زمین (عرضه) و درنظرگرفتن شرایط حاکم بر منطقه مورد مطالعه انجام می‌گیرد (کریمی، ۱۳۸۹). بسته به مقیاس مورد مطالعه و نوع منطقه، متغیرهای مختلفی وارد تصمیم‌گیری می‌شود. این متغیرها عبارت‌اند از: تناسب فیزیکی زمین، دسترسی، همسایگی، دشواری تغییر و محدودیت‌ها (علائی‌مقدم و همکاران، ۱۳۹۴: ۴۸). هدف از ارزیابی و تخصیص چندهدفه کاربری اراضی دستیابی به تخصیص بهینه کاربری و به حداقل‌رساندن میزان تناسب بین آن‌ها است (سلمان‌ماهینی و همکاران، ۱۳۹۳: ۱). تخصیص کاربرد زمین، فرایندی پویا و پیچیده است که سیستم‌های

سالیان اخیر تحقیقات زیادی در عرصه داخلی و خارجی انجام گرفته است که در جدول ۱ به این تحقیقات اشاره می‌شود.

آن کمک به بهینه کردن یک هدف (مثل بیشینه کردن سود) برای یک گروه خاص از تصمیم‌سازان (مثل توسعه‌دهندگان) است (ابراهیم‌نیا و همکاران، ۱۳۸۸: ۹) که یکی از موارد بهینه‌سازی، بهینه‌سازی چندهدفه است. اغلب مسائل مربوط به بهینه‌سازی در دنیا واقعی، دارای ساختار چندهدفه هستند. در چنین شرایطی پیدا کردن جوابی که همه اهداف را بهینه کند، تقریباً ناممکن است و کوشش می‌شود مجموعه‌ای از جواب‌ها با بهینه‌سازی نسبی در همه اهداف یافت شود. به این پاسخ‌ها، جواب‌های متعادل یا متوازن‌کننده گفته می‌شود که تصمیم‌گیرنده می‌تواند بر حسب شرایط مسئله یکی از آن‌ها را برگزیند. (Deb et al. 2002: 184)

در دهه‌های اخیر رشد شهرنشینی و تراکم جمعیت فزاینده در مناطق شهری منجر به افزایش تقاضا برای منابع اراضی شهری شده است (Deng et al, 2008: 96-115) و این مورد باعث شده تعداد زیادی از اراضی زراعی با کیفیت بالا به ساختهای غیرکشاورزی اختصاص یابد (Long et al, 2007; Song et al, 2015). این مسئله رفتارهای موجب چالش‌های جدی برای حفاظت از اراضی کشاورزی، ایمنی تأمین مواد غذایی، مصرف شدید اراضی شهری و انتشار آلاینده‌های زیست‌محیطی شده است (Deng et al, 2019; Huang et al, 2015) از تدبیر ویژه‌ای همچون تخصیص بهینه کاربری اراضی از هدرافت اراضی بالرزش کشاورزی و دیگر اراضی مهم زیست‌محیطی جلوگیری کرد.

پیشینه تحقیق

در رابطه با بهینه‌سازی چندهدفه، تخصیص کاربری اراضی با استفاده از الگوریتم NSGA-II، در طی

جدول ۱. پیشینهٔ داخلی و خارجی پژوهش

نوع سندگان (سال)	عنوان	یافته‌های پژوهش
تNASA (۱۳۹۴)	طراحی مدل مدیریت کاربری اراضی مبتنی بر الگوریتم NSGA-II با رویکرد مدیریت رواناب سطحی در بستر GIS	نتایج حاصل از مدل در چندین الگو کاربری بهینه پیشنهاد داده می‌شود که دارای ارزش کاربردی یکسانی هستند. با بررسی نتایج، مشخص شده الگوهای خروجی مدل ۱۵ تا ۲۲ درصد ضریب رواناب منطقه را کاهش داده و همچنین سطح منفعت اقتصادی منطقه، حدود ۵ تا ۱۵ درصد رشد داشته است که این امر نشان از تأثیر بسزای این الگوها در مدیریت سیالاب دارد.
کامیاب و همکاران (۱۳۹۵)	مقایسه تخصیص اکوسیستمی کاربری سرزمین با استفاده از الگوریتم ژنتیک و رویکرد تخصیص چندهدفه	نتایج نشان داد که در مقایسه با روش MOLA که تنها به تناسب سلولی زمین توجه دارد، تخصیص کاربری با الگوریتم ژنتیک اکوسیستمی منجر به بهبود قابل ملاحظه‌ای در شاخص‌های سیمای سرزمینی شده است. این نکته را می‌توان در بهبود چهار شاخص سیمای سرزمین شامل تعداد لکه، میانگین تپیری، اندازه مؤثر شبکه و شاخص پیوستگی مشاهده کرد.
سدیدی و دروازی (۱۳۹۶)	ارائه مدل توسعه یافته فرآبکاری مبتنی بر الگوریتم ژنتیک چندهدفه درجهت مدل‌سازی تغییر بهینه کاربری اراضی	الگوهای کاربری پیشنهادشده در این مدل می‌تواند سطح منفعت اقتصادی منطقه را در حدود ۴۸ درصد افزایش دهد؛ با این توضیح که تمامی الگوها تا حد امکان دارای سازگاری بالا و دشواری تغییر انداز که هستند.
خیرخواه و همکاران (۱۳۹۸)	مقایسه الگوریتم ژنتیک و برنامه‌ریزی خطی برای حل مسائل بهینه‌سازی کاربری اراضی حوزه‌های آبخیز	الگوریتم‌های تکاملی (مانند الگوریتم ژنتیک) زمانی که با مسائلی که دارای محدودیت‌های زیاد هستند مواجه می‌شوند، در مقایسه با تکنیک‌های کلاسیک بهینه‌سازی، ضعیفتر عمل می‌کنند.
لئو و همکاران ^۱ (۲۰۱۲)	یک روش بهینه‌سازی کلنی مورچگان چند‌هدفه (MACO) برای تخصیص بهینه کاربری اراضی در مناطق بزرگ	از الگوریتم کلونی مورچگان چندهدفه برای بهینه‌سازی چندهدفه کاربری اراضی در منطقه گواندوگ چن استفاده کرده و نتایج حاصل از این الگوریتم را با الگوریتم ژنتیک و الگوریتم شبیه‌سازی تبرید مقایسه کرده‌اند. نتیجه این تحقیق نشان داد که الگوریتم پیشنهادی بر پایه الگوریتم کلونی مورچگان سرعت همگرایی بالاتری نسبت به الگوریتم ژنتیک و الگوریتم شبیه‌سازی تبرید را دارد.
شایگان و همکاران ^۲ (۲۰۱۴)	رویکرد بهینه‌سازی فضایی چند‌هدفه برای تخصیص کاربری NSGA-II اراضی با استفاده از	الگوریتم NSGA-II در مقایسه با الگوریتم GoA-MOLA کارایی بیشتری دارد.
لی و پاروت ^۳ (۲۰۱۶)	الگوریتم ژنتیک بهبودیافته برای بهینه‌سازی فضایی چند‌هدفه و چندمقانی تخصیص کاربری اراضی	نتایج نشان داد که الگوریتم ژنتیک پیشرفته GA پیشنهادی از توانایی خوبی برخوردار است و می‌تواند هر سناریوی بهینه کاربری اراضی را مطابق با اهداف ترجیحی ذی نفعان ایجاد کند؛ بنابراین توانایی ارائه پشتیبانی فنی تعاملی را برای برنامه‌ریزی کاربری اراضی ایجاد می‌کند.
دوزی سرخابی و همکاران ^۴ (۲۰۱۶)	تأثیر محدودیت‌های کاربری اراضی در بهینه‌سازی طرح چندهدفه انرژی مزروعه بادی	یک الگوریتم تکاملی احتمالی (NSGA-II) مشکل بهینه‌سازی را حل می‌کند؛ در حالی که محدودیت‌های کاربری اراضی با عملگرهای جبرانی ایستا و پویا کنترل می‌شود.

(منبع: نگارنده‌گان، ۱۳۹۸)

1- Liu et al

2-Shaygan et al

3- Li & Parrott

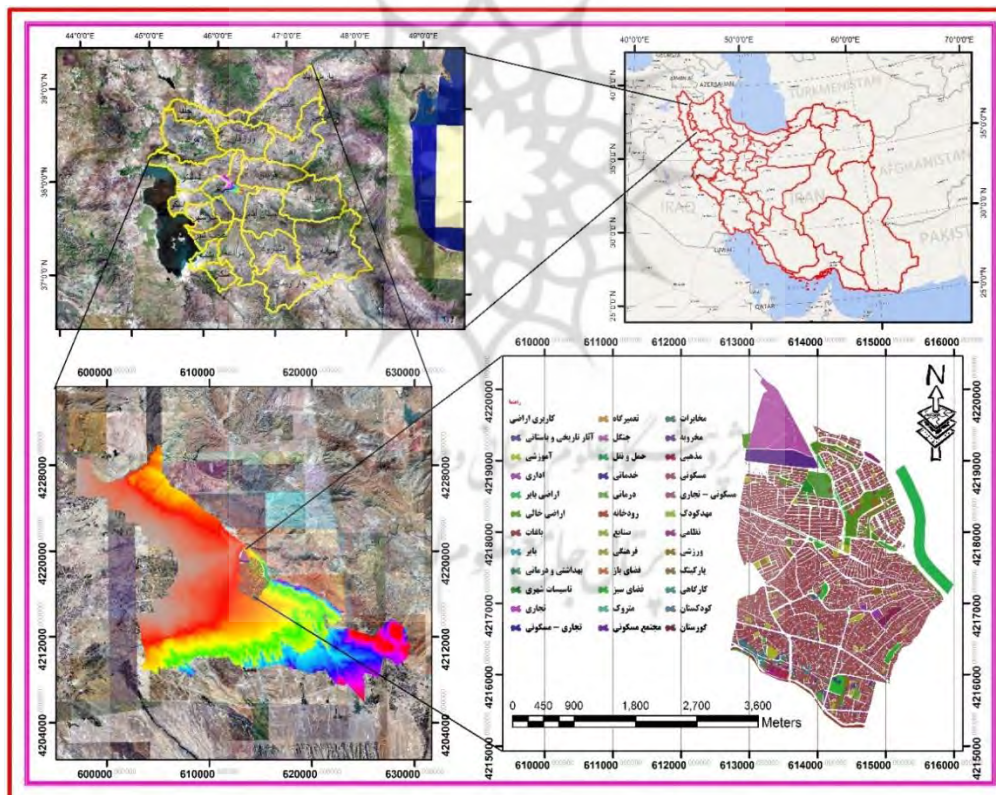
4- Douzi Sorkhabi

مورفولوژی کوهپایه‌ای و تناوب سیستم‌های آبراهه‌ای

منشعب از کوهستان شمالی شهر و نیز دره رودخانه‌ای آجی چای باعث شکل‌گیری سطوح مختلف شیب در سطح آن شده است (شکل ۱) (مهندسين مشاور نقش محیط، ۱۳۹۱: ۳۸). این منطقه در برگیرنده ۲۰۰ هکتار است. بدین نفر جمعیت و مساحتی بالغ بر ۱۰۵۰ هکتار است. بدین واسطه تراکم ناچالص جمعیتی این منطقه معادل ۱۹۱ نفر در هکتار و تراکم خالص جمعیتی آن برابر با ۴۵۰ نفر در هکتار است. این منطقه شامل ۴۶۴۴۷ قطعه است که از این تعداد ۳۸۰۹ قطعه آن مسکونی است. همچنین وسعت منطقه حدود ۱۰۵۰ هکتار است (همان، ۱۷).

منطقه مورد مطالعه

تبریز یکی از شهرهای بزرگ ایران و مرکز استان آذربایجان شرقی است. این شهر بزرگ‌ترین شهر منطقه شمال‌غرب کشور و قطب اداری، ارتباطی، بازرگانی، سیاسی، صنعتی، فرهنگی و نظامی این منطقه شناخته می‌شود. منطقه ۱۰ که جزو مناطق شمالی شهر است، به وسعت ۱۹۰۲/۲ هکتار تقریباً ۴/۳ درصد از کل پهنه شهر تبریز را در برگرفته است. با توجه به موقعیت جغرافیایی آن در شمال شهر تبریز و دامنه‌های کوه عون بن‌علی و نیز در محل ورود رودخانه آجی چای به دشت تبریز ساختار توپوگرافی آن شامل دامنه‌های نسبتاً مرتفع و شیب‌داری است که



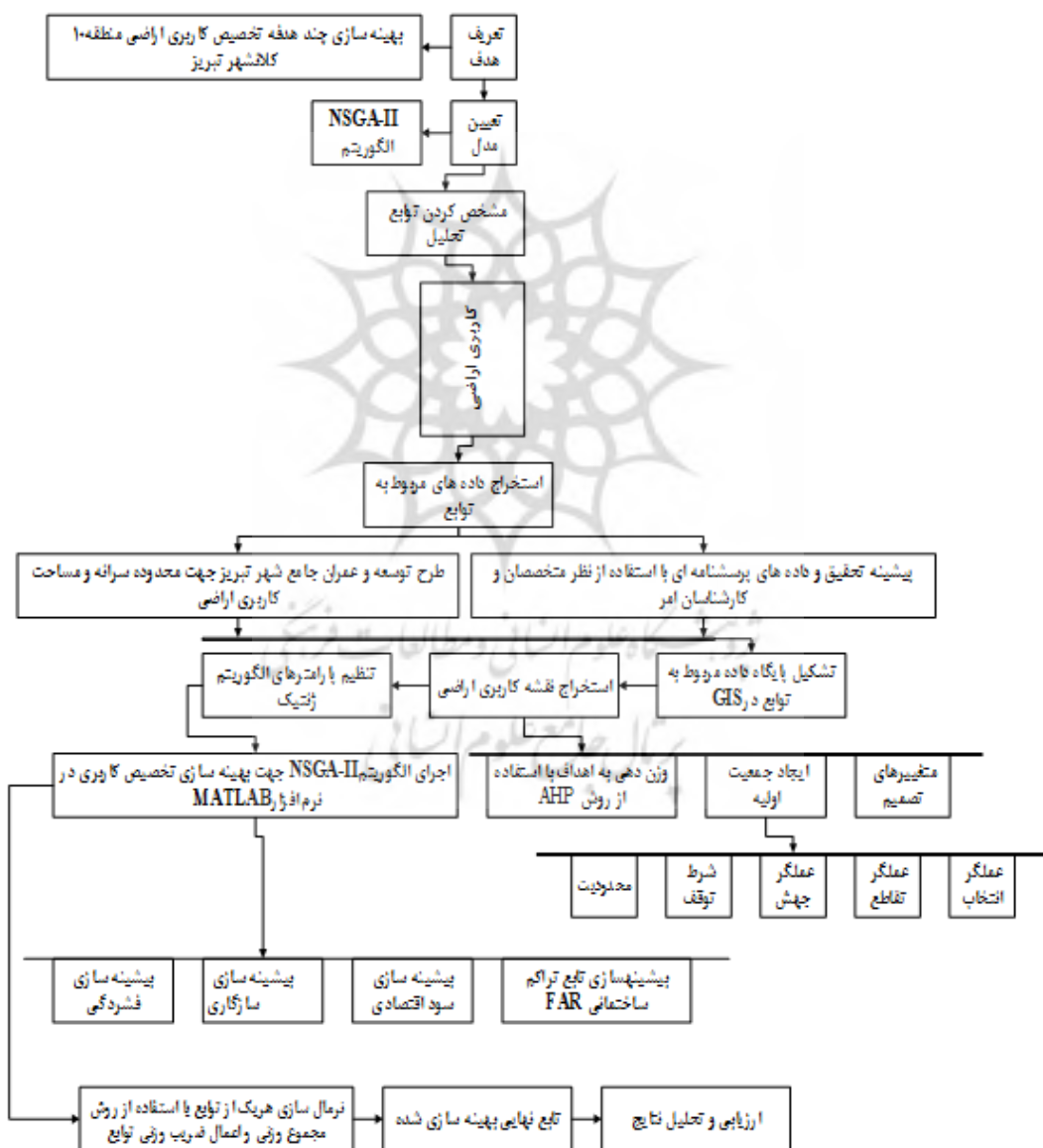
شکل ۱. موقعیت منطقه مورد مطالعه

(منبع: نگارنده‌گان، ۱۳۹۸)

فضای سبز، ورزشی، اداری، مذهبی، نظامی، کارگاهی، حمل و نقل، آثار تاریخی)، داده‌های پرسشنامه‌ای با استفاده از نظر متخصصان امر (استادان، کارشناسان) و طرح توسعه و عمران (جامع) شهر تبریز برای استخراج محدوده، سرانه و مساحت هر یک از کاربری‌های اراضی محدوده، داده‌های موردنیاز جمع‌آوری شده و پایگاه داده مربوط به آن‌ها در محیط GIS تشکیل شد. مراحل انجام این تحقیق در شکل ۲ آورده شده است.

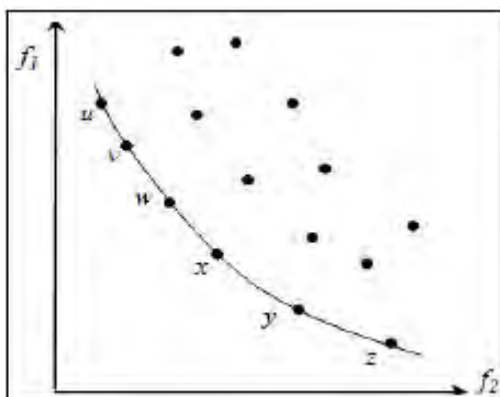
مواد و روش‌ها

پژوهش حاضر از نظر روش، توصیفی- تحلیلی و دارای ماهیت توسعه‌ای - کاربردی است. اطلاعات موردنیاز با استفاده از منابع کتابخانه‌ای، اسنادی، الکترونیکی، بررسی‌ها و مشاهدات میدانی جمع‌آوری شد. در ادامه بعد از تعیین توابع هدف مورداستفاده در امر بهینه‌سازی براساس پیشینه مطالعاتی و نظر کارشناسان امر شامل کاربری اراضی (کاربری مسکونی، تجاری، تجاری- مسکونی، فرهنگی، درمانی، آموزشی،



شکل ۲. مراحل انجام پژوهش

(منبع: نگارندگان، ۱۳۹۸)



شکل ۳. نمودار کمینه‌سازی پارتو فرانت با دوتابع هدف
(منبع: حسینی و زهرا، ۱۳۹۳)

فرم کلی توابع چندهدفه به صورت زیر است:

$$\min_{m=1,2,\dots,M} (\max) f_m(x) \quad (1)$$

$$\text{Subject to } g_j(x) \geq 0; \quad j=1,2,\dots,J; \quad (2)$$

$$h_k(x)=0; \quad K=1,2,\dots,K.$$

$$x_i^{(L)} \leq x_i \leq x_i^{(U)}, \quad i=1,2,\dots,n.$$

یک جواب x برداری از n متغیر تصمیم است:

$$X = [x_1 \ x_2 \ \dots \ x_n]^T \quad (3)$$

هر متغیر تصمیم، محدود به گرفتن مقداری بین حد پایینی $x_i^{(L)}$ و $x_i^{(U)}$ است. این حدود، فضای متغیر تصمیم را شکل می‌دهند. همچنین f برداری از m تابع هدف است:

$$f(x) = [f_1(x) \ f_2(x) \ \dots \ f_m(x)]^T \quad (4)$$

$g_i(x)$ و $h_k(x)$ توابع محدودیت‌اند، J تعداد محدودیت نامعادله و k تعداد محدودیت معادله است. نگاشت بین فضای متغیر تصمیم^۳ و فضای هدف^۴ در شکل ۴ نمایش داده شده است.

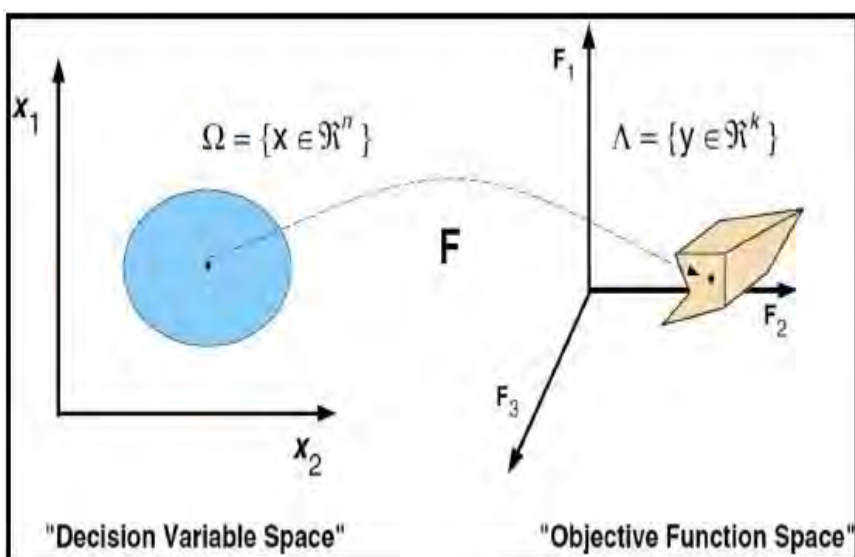
بهینه‌سازی چندهدفه تخصیص کاربری زمین

اغلب مسائل مربوط به بهینه‌سازی در دنیا واقعی، دارای ساختار چندهدفه هستند. در چنین شرایطی پیدا کردن جوابی که همه اهداف را بهینه کند، تقریباً ناممکن است و کوشش می‌شود مجموعه‌ای از جوابها با بهینه‌سازی نسبی در همه اهداف یافته شود. به این پاسخ‌ها، جواب‌های متعادل یا متوازن کننده گفته می‌شود که تصمیم‌گیرنده می‌تواند بر حسب شرایط مسئله یکی از آن‌ها را برگزیند. منظور یافتن جواب‌های بهینه پارتو^۱ است، جبهه جواب پارتو از مفاهیم پایه‌ای در مسائل چندهدفه است (Deb et al., 2001: 184).

شکل ۳ پاسخ‌های یک مسئله دو هدفه از نوع حداقل‌سازی را نشان می‌دهد. پاسخ بهینه برای این مسئله پاسخی است که در هر یک از اهداف از بقیه جواب‌ها بدتر نباشد و حداقل در یکی از اهداف بهتر از سایر جواب‌ها باشد؛ یا به عبارت دیگر، پاسخ مسئله پاسخی است که در مقایسه با هیچ جواب دیگری در فضای مسئله پست^۲ نباشد. چنین جواب بهینه‌ای، جواب بهینه پارتو نامیده می‌شود. هر چند روش‌های مختلفی برای حل مسائل چندهدفه پیشنهاد شده است، هدف همه این روش‌ها، یافتن مجموعه بهینه پارتو است (حسینی و زهرا، ۱۳۹۳: ۱۷۴).

3-Dcision space
4-Object space

1-Pareto optimal solutions
2-Dominant



شکل ۴. نمایش فضای متغیر تصمیم و فضای هدف

(Coello et al, 2002)

ممکن است باعث بهترشدن نسل بعدی شوند. الگوریتم فرالبتکاری ژنتیک نیز با استفاده از این ایده اقدام به حل مسائل می‌کند (Sheta et al, 2006: 71). در اجرای یک الگوریتم ژنتیک باید مراحل سه‌گانه زیر انجام شود.

- ۱) به طور تصادفی جمعیتی از کروموزوم‌ها با طول ثابت تولید شود.
- ۲) به طور تکراری بر روی جمعیت اعمال زیر انجام شود تا اینکه شرط خاتمه فرایند حاصل شود.
- I. میزان برازنده‌گی^۳ هر کروموزوم در جمعیت محاسبه شود.
- II. با استفاده از فرایندهای زیر جمعیت جدید ایجاد شود. این فرایندها بر روی یک یا دو کروموزوم از جمعیت حاضر که به طور تصادفی متناسب با میزان برازنده‌گی انتخاب می‌شوند، عمل می‌کنند.
- A. جمعیت حاضر عیناً به نسل بعدی منتقل می‌شوند (تکثیر^۴)
- B. با استفاده از ترکیب، از دو کروموزوم انتخاب شده

الگوریتم ژنتیک

اصول اولیه الگوریتم ژنتیک در سال ۱۹۶۳ توسط هاللند و همکارانش ارائه شد. آنان برای مدل‌سازی سیستم‌های مصنوعی به فرایند سازگاری در سیستم‌های طبیعی روی آوردند. این تحقیقات باعث به وجود آمدن الگوریتم ژنتیک شد. در سال ۱۹۷۵ هاللند به مبانی ریاضی الگوریتم ژنتیک در کتاب مشهور خود پرداخت (Holland, 1975) و امروزه به طور گسترده در حل مسائل بهینه‌سازی و فرایندهای یادگیری به کار می‌رود (Sheta et al, 2006: 71). دو مفهوم مهم در این الگوریتم، کروموزوم^۱ و ژن^۲ است که به رمز درآمده یا کدشده یک جواب یا قسمتی از یک جواب را کروموزوم و عناصر تشکیل‌دهنده یک کروموزوم را ژن می‌گویند که معمولاً عدد یا کلمه یا حتی دستورات برنامه‌نویسی هستند (Beady et al, 1993). به طور کلی در طبیعت از ترکیب کروموزوم‌های مناسب نسل‌های بهتری پدید می‌آیند. در این بین گاهی جهش‌هایی نیز در کروموزوم‌ها رخ می‌دهد که

3- Fitness

4- Reproduction

1- Chromosome

2- Gene

بحث و یافته‌ها

در این پژوهش مراحل زیر طی شده است:

تنظیم پارامترهای الگوریتم ژنتیک - متغیرهای تصمیمی

قبل از شروع الگوریتم، انواع کاربری‌ها باید به شکل کروموزوم کدگذاری شوند. کروموزوم شبکه‌ای است که هر بخش از آن ژن نامیده می‌شود. هر ژن نشانگر یک واحد است و نوع کاربری توسط اعداد خاص مشخص می‌شوند. در این پژوهش، هر سلول یک ژن است و مقدار عددی هر کد یک نوع کاربری است (جدول ۲).

دو کروموزوم دیگر تولیدکرده به نسل بعدی انتقال داده شوند.

C. با استفاده از جهش کروموزوم‌های جدیدی تولیدکرده و به نسل بعدی انتقال داده شوند.

(۳) بهترین کروموزوم در هر نسل - یعنی کروموزومی که میزان برآزندگی بالاتری دارد- نتیجه اجرای الگوریتم تا آن نسل است (تNASA، ۱۳۹۴: ۳۲-۳۱).

جدول ۲. کدگذاری کاربری‌ها

کد	نوع کاربری اراضی	سطح کاربری اراضی
۱	مسکونی (با چگالی دو طبقه)	مقیاس محلی
۲	مسکونی (با چگالی سه طبقه)	
۳	مسکونی (با چگالی چهار طبقه)	
۴	تجاری	
۵	درمانی	
۶	آموزشی	
۷	فضای سبز	
۸	فرهنگی	
۹	ورزشی	
۱۰	تجاری-مسکونی (با چگالی دو طبقه)	
۱۱	تجاری-مسکونی (با چگالی سه طبقه)	مقیاس شهری
۱۲	تجاری-مسکونی (با چگالی چهار طبقه)	
۱۳	اداری	
۱۴	مذهبی	
۱۵	نظامی	
۱۶	کارگاهی	
۱۷	حمل و نقل	
۱۸	آثار تاریخی	

(منبع: نگارندگان، ۱۳۹۸)

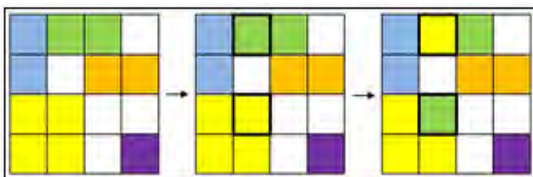
جمعیت اولیه، یک کد برای هر نوع کاربری تعیین می‌شود و جمعیت اولیه به صورت تصادفی تولید می‌شود.

روش کدگذاری بدین معناست که برای هر سلول یک نوع کد کاربری انتخاب می‌شود (عدد صحیح بین ۱ تا ۱۲) و به آن اختصاص داده می‌شود. باید در نظر داشت

ایجاد جمعیت اولیه

بعد از تعیین روش کدگذاری کروموزوم‌ها، جمعیت اولیه که همان راه حل تصادفی است باید تولید شود. این مرحله نقش مهمی در کارایی الگوریتم و کیفیت راه حل‌ها دارد؛ بنابراین، ۱۰۰ راه حل تصادفی به عنوان راه حل اولیه (والدین) تولید می‌شود. برای تولید

بعد از اجرای عملگر تقاطع، مقدار عددی تابع هدف ترکیب شده برای هر فرزند محاسبه می‌شود. سپس راه حل مناسب‌تر به مرحله جهش می‌رود (شکل ۵) که شبکه کد^۱ مربوط به این تابع هدف در جدول ۳ آورده شده است.



شکل ۵. عملگر تقاطع

(منبع: نگارندگان، ۱۳۹۸)

پ) عملگر جهش

جابه‌جایی ارزش هر ژن در راه حل به صورت رندم جهش نامیده می‌شود. جهش نقش مهمی در همگرایی و عملکرد بهتر NSGA-II دارد. در این پژوهش یک جهش مبتنی بر patch مدنظر قرار گرفته است. جهش مبتنی بر patch که به نام جهش MPC خوانده می‌شود، به صورت مراحل ذیل اجرا می‌شود.

۱- تعیین پنجره جهش (در این مطالعه، یک مربع‌شکلی که شامل ۹ سلول است، مدنظر قرار گرفته است)

۲- تعیین پنجره جهش نوع کاربری (تجاری، مسکونی و غیره)

۳- تعیین موقعیت پنجره جهش به صورت تصادفی با تعیین یک عدد به صورت تصادفی بین ۱ و مجموع تعداد قطعه‌ها، به عنوان مرکز پنجره جهش.

۴- تغییر نوع کاربری راه حل بطبق پنجره جهش نوع کاربری.

چون ممکن است که مشکلات برطرف نشوند، یک عملگر جهش دیگر نیز به عملگر جهش اضافه می‌شود.

که کاربری‌های مقیاس شهری تخصیص داده نشود و موقعیت کنونی آن‌ها حفظ شود؛ بنابراین، کدهای بالاتر از ۱۲ به سلول‌ها تخصیص نمی‌یابد. در این تحقیق کوروموزم تعریف شده به وسیله داتا و همکاران (۲۰۰۶) مورد استفاده قرار گرفت. نمایش ریاضی کوروموزم تعریف شده به صورت رابطه ۵ است:

$$Ch = [e_{ij}^u] R_u C_u \quad (5)$$

e_{ij}^u کلاس کاربری e که به واحد (j, i) اختصاص داده شده، R_u تعداد کل سطرها و C_u تعداد کل ستون‌هاست. با توجه به تعریف مذکور که در شکل ۵ نشان داده شده است، گستره منطقه مورد مطالعه به صورت ماتریس در نظر گرفته شده است؛ به گونه‌ای که مکان هر واحد با اندیس (j, i) و مقدار هر واحد نیز بیانگر کاربری اراضی آن است.

الف) عملگر انتخاب

در تعیین والدین برای اجرای عملگرهای تقاطع و جهش، تابع برازش (fitness) محاسبه می‌شود. سپس، راه حل‌ها براساس ارزش تابع برازش و به حداکثرسانی اهداف مرتب می‌شود؛ هرچه مقدار عددی تابع برازش بیشتر، راه حل بهتر و والدین انتخاب می‌شوند.

ب) عملگر تقاطع

عملگرهای متقابل تقاطع مانند روش تقاطعی تک نقطه‌ای برای مشکل بهینه‌سازی کاربری مناسب نیستند، چون عملگرهای معمولی راه حل‌هایی تولید نمی‌کنند که کیفیت فشردگی قابل قبولی داشته باشند؛ بنابراین در این مطالعه این عملگر به صورت زیر اصلاح شده است:

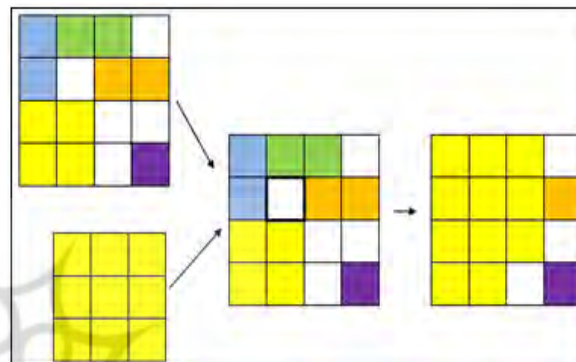
۱- تولید دو عدد بین ۱ و عدد سلول در منطقه مورد مطالعه به عنوان نقطه تقاطع.

۲- بررسی نقطه تقاطع نوع کاربری در راه حل تولید شده

۳- اگر مقدار عددی سلول مساوی نقطه تقاطع نبود، مقدار عددی را با هم باید جابه‌جا کرد.

حداکثر ارتفاع ساختمان‌ها برای مناطق بربطی مقررات شهری و عرض متوسط خیابان تعیین می‌شود. در ایران، این میزان توسط منطقه‌بندی تراکم و طبقات مشخص می‌شود که در نقشه دارای جزئیات شهرها و با تأیید شورای شهر به نمایش درمی‌آید.

در این عملگر، در ابتدا برطرف شدن هر محدودیت بررسی خواهد شد و سپس اگر موقعیت هر نوع کاربری در گستره محدودی قرار نداشته باشد، عملگر به صورت تصادفی یک موقعیت انتخاب می‌کند و نوع کاربری موردنیاز را به آن تخصیص می‌دهد تا راه حل را درجهت عملی شدن به پیش ببرد (شکل ۶) که شبیه کد مربوط به این پارامتر هدف در جدول ۳ آورده شده است.



شکل ۶. عملگر جهش

(منبع: نگارندگان، ۱۳۹۸)

به دلیل اینکه کاربری‌های مسکونی، تجاری، درمانی، آموزشی، فضای سبز، فرهنگی و ورزشی، نیازهای اساسی اراضی در سطح منطقه هستند، این ۷ نوع کاربری در منطقه مورد مطالعه مدنظر قرار گرفته‌اند. علاوه‌بر این، کاربری مختلط قابل قبول در این سطح، مسکونی-تجاری است؛ در ضمن، کاربری مسکونی به تراکم پایین، متوسط و بالا تقسیم می‌شود (با درنظر گرفتن ارتفاع و تعداد طبقات مجاز).

از آنجایی که موقعیت کاربری‌ها در مقیاس شهر با توجه به سیاست‌های دولت تعیین می‌شود، این نوع کاربری‌ها نباید در طول زمان تغییر کند؛ بنابراین، اراضی در مقیاس شهر که در منطقه مطالعاتی قرار گرفته‌اند، در فرایند بهینه‌سازی حال و آینده ثابت مدنظر گرفته‌می‌شوند.

جدول ۳. شبکه کد (pseudocode) مربوط به عملگرهای انتخاب، تقاطع و جهش

الگوریتم ۱: روش Hypercube مبتنی بر الگوریتم زنگنه	الگوریتم ۲: تعداد همسایگان مورد محاسبه هر راه حل در Hypercubes
<p>P_t: Population of generation t P_{t+1}: Population of generation t + 1 Ch_{t+1}: Child Solutions A_{t+1}: Collection of population and child solutions Fr[]: All Fronts of A_{t+1} S_{t+1}: All populations from front 1 to front l Fr_L: Last front of S_{t+1}</p> <p>Input: P_t Output: P_{t+1}</p> <p>1: Ch_{t+1} = Crossover + Mutation(P_t) 2: A_{t+1} = P_t + Ch_{t+1} 3: A_{t+1} = Calculate_neighber_count(A_{t+1}) 4: Fr[] = Non_dominated_sort(A_{t+1}) 5: S_{t+1} = ∅, Fr_L = ∅</p> <p>6: Repeat</p> <p>7: S_{t+1} = S_{t+1} ∪ Fr_L, i = i + 1</p> <p>8: Until S_{t+1} > N</p> <p>9: if (S_{t+1} = N) then P_{t+1} = S_{t+1}, break;</p> <p>10: else</p> <p>11: P_{t+1} ∪_{j=1}ⁱ⁻¹ Fr_j</p> <p>12: Fr_L = Fr_i</p> <p>13: Number of points Remains in Fr_L: K = N - P_{t+1} </p> <p>14: Remained Solutions From: R_L = RDH (Fr_L, K)</p> <p>15: P_{t+1} = P_{t+1} ∪ R_L</p> <p>16: End if</p>	<p>A_{t+1}[i].HC: Atribute Containing Hypercube of solution A_{t+1}[i].N: Solution Attribute containing the number of neighbors</p> <p>Input: A_{t+1} Output: A_{t+1}</p> <p>1: for i = 1 to A_{t+1} 2: Find Hypercube of A_{t+1}[i] and assign to: A_{t+1}[i].HC 3: end for 4: for i = 1 to A_{t+1} 5: Finding the number of neighbors for A_{t+1}[i] in the Hypercube containing A_{t+1}[i] and assign it to A_{t+1}[i].N 6: end for</p>

الگوریتم ۳: حذف تراکم (RDH) Hypercubes

C: Candidate Solutions for Elimination

Input: Fr_L, K

Output: R_L

1: C = ∅

2: **for** i = 1 **to** |Fr_L| - K

3: Select a Solution to Remove: S = Tournament_Selection(Fr_L)

4: **foreach** (Neighbor of S: S_n)

5: S_n.N = S_n.N - 1

6: **end foreach**

7: C = C ∪ S

8: **end for**

9: R_L = Fr_L - C

(منبع: Masoumi et al, 2016: 12)

قرار داشته باشد. این محدودیت را می‌توان با شرایط زیر

بیان کرد:

$$P_k^{\min} \propto P_k \propto P_k^{\max} \quad (6)$$

ت) شرط توقف

شرط توقف براساس استفاده از محدودیت دفعات

اجرای الگوریتم درنظر گرفته شده است و الگوریتم برای ۱۲۰۰ بار تکرار برنامه نویسی شده است.

ج) محدودیت

سرانه تقاضا، میزان موردنیاز برای هر نوع کاربری است که به عنوان محدودیت در این مطالعه محسوب می‌شود. این مقدار می‌تواند در محدوده حداقل و حداکثر که توسط برنامه‌ریزان شهری تعیین می‌شود،

در محدوده بیان شده، P_k^{\min} ، حداقل مساحت موردنیاز برای کاربری نوع k و P_k^{\max} ، حداکثر مساحت موردنیاز برای کاربری نوع k، P_k مساحت موردنیاز برای کاربری نوع k است.

(جامع) شهر تبریز محاسبه شده است (جدول ۴).

تقاضای اراضی برای هشت کاربری اساسی برطبق سرانه و رشد جمعیتی آینده از طرح توسعه و عمران

جدول ۴. تقاضای اراضی برای کاربری‌ها

کاربری اراضی	مینیمم سرانه (متر)	ماکریم سرانه (متر)	مینیمم مساحت (متربعد)	ماکریم مساحت (متربعد)
مسکونی	۲۲.۲۰	۲۲.۹۱	۴۴۴۲۰۶۷	۶۵۸۶۰۲۵
تجاری	۱.۳۱	۲.۹۸	۲۶۲۴۳۷	۵۹۸۱۳۲
آموزشی	۱.۰۲	۲.۰۱	۲۰۳۳۱۴	۴۰۲۵۹۳
درمانی	۰.۵۷	۱.۷۸	۱۱۳۵۴۲	۳۵۶۷۱۲
فضای سبز	۰.۸۸	۱.۸۳	۱۷۶۱۱۴	۳۶۵۸۴۱
فرهنگی	۰.۰۶	۰.۲۱	۱۱۳۸۷	۴۱۲۶۸
ورزشی	۰.۳۰	۰.۴۵	۶۰۸۵۴	۸۹۶۲۵
تجاری=مسکونی	۰.۱۴	۰.۱۹	۲۸۴۱۰	۳۹۲۶۵

(منبع: نگارندگان، ۱۳۹۸)

کاربری نیاز است. در حقیقت FAR نشان‌دهنده تراکم توسعه شهری است. به منظور محاسبه تابع تراکم ساختمانی (FAR)، لایه‌های دوازده‌گانه کاربری اراضی که در جدول ۲ به آن‌ها اشاره شده است، با تفکیک مکانی ۳۰ متر ایجاد شده و داده رستری منطقه را به محدوده ۹۰۰ مترمربع برای هر سلول، resample کرده، سپس با همپوشانی لایه موردنظر با لایه‌های مسکونی تفکیک شده به سه گروه طبقاتی، تعداد طبقات اختصاص یافته به هر سلول شمارش شد. بعد از تشکیل بانک اطلاعاتی، داده‌ها در فرمت ascii تهیه شده و وارد نرم‌افزار MATLAB شده و خروجی حاصل مورد تجزیه و تحلیل قرار گرفته است.

تابع هدف FAR به صورت رابطه ۷ محاسبه می‌شود:

$$\text{رابطه (۷)}$$

$$\max f_1 \equiv \frac{\sum_{i=1}^n F_i * A_i}{\sum_{i=1}^n A_i}$$

$$i \equiv 1, 2, \dots, n$$

که در آن F برابر با تعداد طبقاتی که به هر سلول

اجرای الگوریتم NSGA-II

برای بهینه‌سازی تخصیص کاربری از طریق NSGA-II براساس عملگرهای ذکر شده و روش کدگذاری جمعیت اولیه، یک برنامه در MATLAB توسعه داده شد. مدل برای ۳۰۰ و ۸۰۰ و ۱۲۰۰ تکرار، ۱۰۰ جمعیت اولیه، ۴۰ جهش و ۱۰۰ تقاطع نقطه‌ای اجرا شد. زمان اجرای مدل برای پارامترهایی که در بالا ذکر شد و ۵ هدفی که تعریف شد، در جدول ۵ آورده شده است.

جدول ۵. زمان اجرای برنامه برای تکرارهای ۸۰۰، ۳۰۰ و ۱۲۰۰

تعداد تکرارها	زمان اجرای برنامه
۳۰۰	۱۸ ساعت، ۲۵ دقیقه و ۵ ثانیه
۸۰۰	۲۵ ساعت، ۱۰ دقیقه و ۵۹ ثانیه
۱۲۰۰	۲۹ ساعت، ۵۳ دقیقه و ۳۶ ثانیه

(منبع: نگارندگان، ۱۳۹۸)

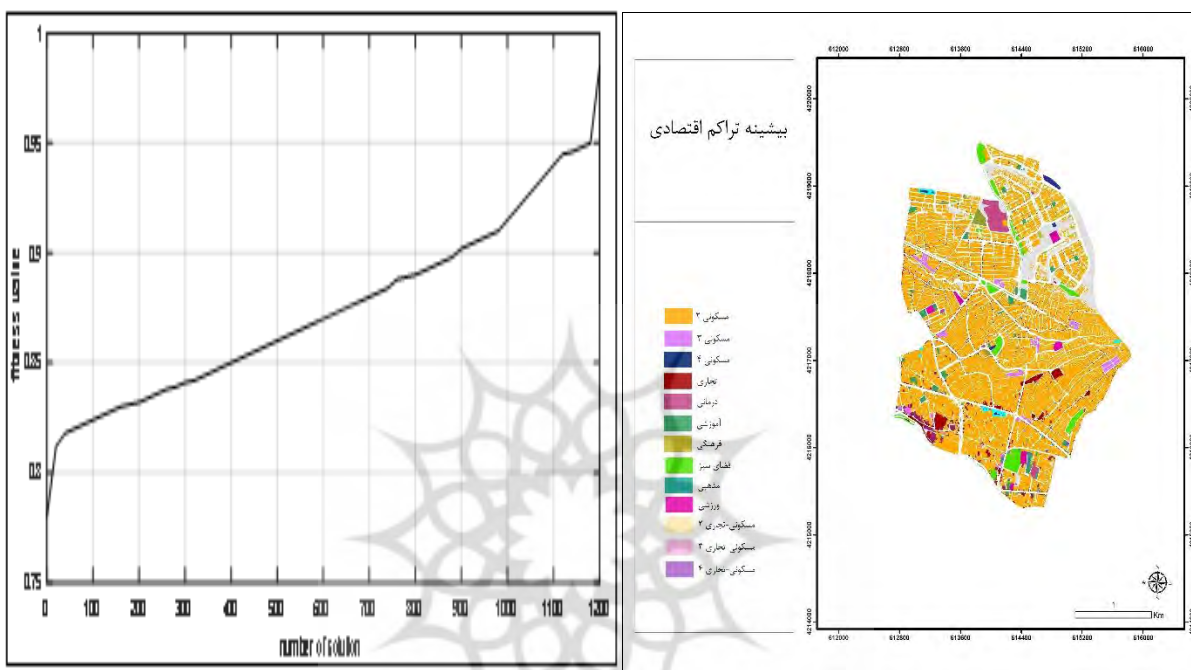
- نتایج حاصل از اجرای الگوریتم بهینه‌سازی

الف) بیشینه‌سازی تابع تراکم ساختمانی FAR

FAR نسبت زیربنای سرپوشیده کل طبقات و ساختمان‌های موجود در یک قطعه زمین (زیربنای ناخالص)، به مساحت آن قطعه زمین است؛ به طور کلی، هرچه FAR بیشتر باشد، به میزان کمتری از تغییر

۱۳/۰۴ درصد بهبود می‌یابد. مقدار ماکریزم از تابع نرم‌الیزه شده ۰/۹۸۶۸۰۳ حاصل شده است. لازم به ذکر است، جواب نمایش داده شده، بهترین جواب برای تابع مربوط در پارتو فراتت بدون احتساب نتایج دیگر توابع بوده است.

اختصاص یافته، A مساحت هر سلول و Ω تعداد سلول‌هایی که در منطقه مورد مطالعه قرار دارد. اشکال ۷ و ۸ روند بهبود بهترین جواب‌های یافت شده توسط الگوریتم برای تابع FAR را در هر تکرار نشان می‌دهد. در صورت بهینه‌سازی تابع، مقدار آن به اندازه



اشکال ۷ و ۸. بهترین جواب‌های تابع FAR در هر تکرار و نقشه طبقه‌بندی شده بهترین جواب تابع بیشینه‌سازی تراکم ساختمانی
(منبع: نگارندگان، ۱۳۹۸)

است:

$$\max f_2 \equiv \sum_{i=1}^n \varepsilon_i * x_i^{\text{commercial}} \quad \text{رابطه (8)}$$

$$i \equiv 1, 2, \dots, n$$

که در آن Ω تعداد سلول‌هایی که در منطقه مورد مطالعه قرار دارد، Ω مساحت قطعه Ω است که کاربری تجاری دارد.

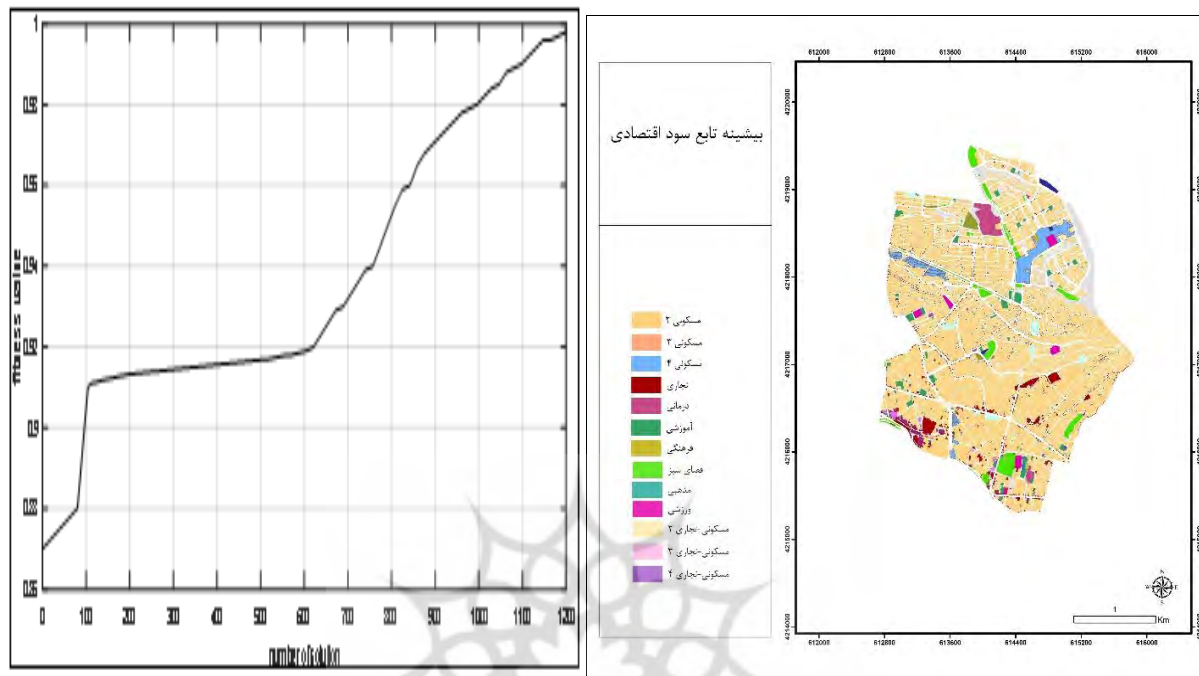
$x_i^{\text{commercial}}$ نمایشگر این است که کاربری سلول i تجاری است یا نه. اشکال ۹ و ۱۰ روند بهبود بهترین جواب‌های یافت شده توسط الگوریتم برای تابع بیشینه‌سازی سود اقتصادی را در هر تکرار نشان

ب) بیشینه‌سازی سود اقتصادی

برای محاسبه سود اقتصادی لایه تجاری به صورت باينری با دقت مکانی ۳۰ متر مربع تهیه شده سپس به صورت ascii وارد الگوریتم شده و خروجی حاصل به صورت نقشه قابل تجزیه و تحلیل می‌شود. برنامه‌ریزی کاربری زمین، منافع اقتصادی مستقیم از کاربری‌های تجاری و صنعتی به دست می‌آید. به دلیل آلودگی و ناسازگاری بالای کاربری صنعتی و کاربری مسکونی، نباید کاربری صنعتی در سطح منطقه اختصاص یابد؛ بنابراین، هرچه کاربری تجاری بیشتری اختصاص یابد، منافع اقتصادی بیشتری به دست می‌آید. تابع هدف مربوط به سود اقتصادی به صورت رابطه ۸

تابع نرمالیزه شده ۰/۹۹۶ حاصل شده است.

می‌دهد. با توجه به روند بهینه‌سازی مقدار تابع، به اندازه ۲۱/۰۶ درصد بهبود می‌یابد. مقدار ماکریم از



اشکال ۹ و ۱۰. به ترتیب نقشه طبقه‌بندی شده بهترین جواب‌های بیشینه‌سازی بازگشت اقتصادی در هر تکرار (منبع: نگارندگان، ۱۳۹۸)

طراحی پرسشنامه، تحلیل پاسخ و آماده‌سازی پیش‌نویس ماتریس سازگاری است. مرحله دوم، از ماتریس اولیه‌ای که در مرحله توزیع قبل به دست آمده، نتایج دوباره ارزیابی شده و ماتریس سازگاری تشکیل می‌شود. جدول ۶ ماتریس سازگاری بین کاربری‌ها در این پژوهش را نشان می‌دهد. برای ماتریس سازگاری از تابع ریاضی زیر استفاده شده است:

$$\max f_4 \equiv \prod_{i=1}^n \prod_{p=1}^l Co_{ip} \quad (9)$$

$$i \equiv 1, 2, \dots, n$$

که در آن i تعداد کاربری‌های مجاور در اطراف هر سلول A است. Co_{ip} ارزش سازگاری بین کاربری i که در سلول A قرار دارد و کاربری p که در سلول p است. n تعداد

پ) بیشینه‌سازی سازگاری

برای استخراج ماتریس سازگاری از مدل دلفی براساس نظر کارشناسان استفاده شد. با کاربرد این روش می‌توان بر مشکلات کمی‌سازی متغیرهای مختلف و روابط میان آن‌ها با توجه فقدان مدل‌ها و داده‌های کافی و موردنیاز، غلبه کرد و به روشنی ساده‌تر، ماتریس سازگاری میان کاربری‌ها را ایجاد کرد (Taleai, 2007). روش دلفی فرایندی ساختاریافته برای جمع‌آوری و طبقه‌بندی دانش موجود در نزد گروهی از کارشناسان و خبرگان است که از طریق توزیع پرسشنامه‌هایی در بین افراد و بازخور کنترل شده پاسخ‌ها و نظرات دریافتی صورت می‌گیرد (Masoomi, 2014; Deb et al., 2002). روش دلفی مشکل از دو مرحله اصلی و یک فرایند پیوسته و تکرارشونده است. مرحله اول، شامل

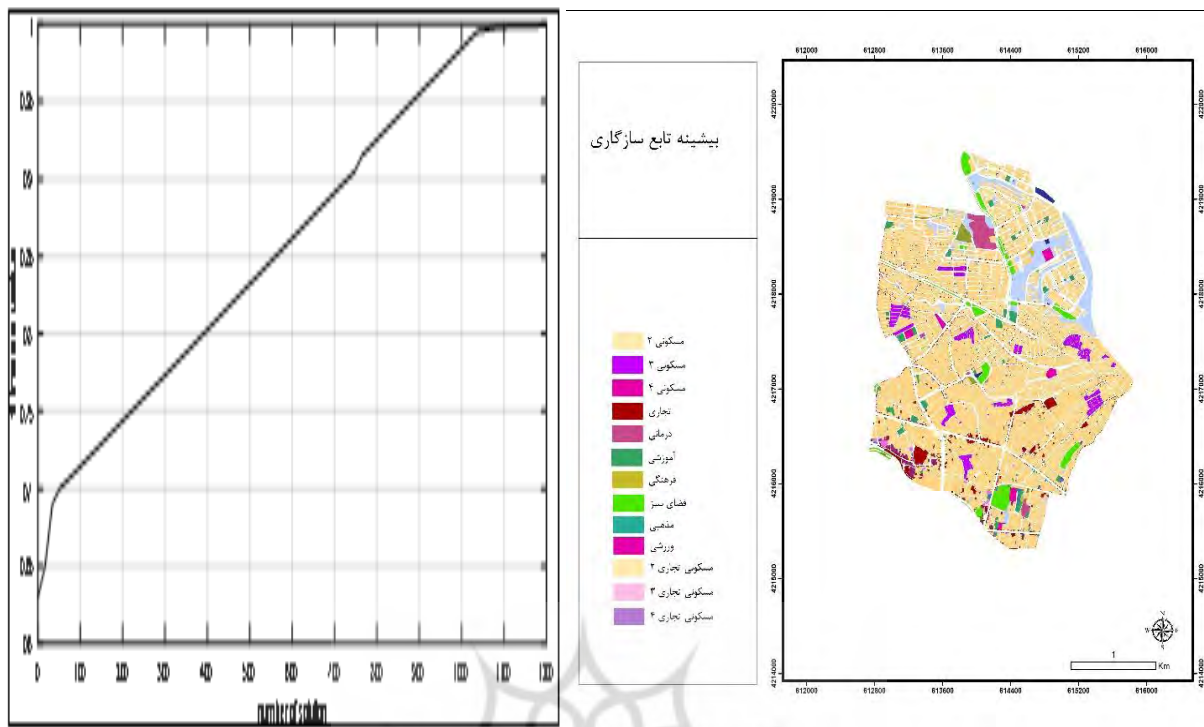
یافت شده توسط الگوریتم برای تابع بیشینه‌سازی سازگاری را در هر تکرار نشان می‌دهد. تابع سازگاری پس از بهینه‌سازی به میزان $2/3$ درصد بهبود می‌یابد، هم‌چنین مقدار ماکریم حاصل از تابع نرمالیزه شده برابر با $۹۹/۱۲$ است.

سلول‌هایی که در منطقه مورد مطالعه قرار دارد. تابع برآمدش مریوط به سازگاری در محیط نرم‌افزار متلب، برنامه‌نویسی شده و با استفاده از این تابع برآورده از وضعیت سازگاری در منطقه مورد مطالعه به دست آمد. اشکال ۱۱ و ۱۲ روند بهبود بهترین جواب‌های

جدول ۶. ماتریس سازگاری بین کاربری‌ها

۱۸	۱۷	۱۶	۱۵	۱۳	۱۲	۱۱	۱۰	۹	۸	۷	۶	۵	۴	۳	۲	۱	کاربری اراضی	
۰.۲	۰.۴	۰.۲	۰.۶	۱	۰.۴	۰.۶	۱	۰.۸	۰.۸	۱	۰.۸	۰.۶	۱	۰.۴	۰.۸	۱	۱	
۰.۲	۰.۴	۰.۲	۰.۶	۱	۰.۶	۱	۱	۰.۸	۰.۸	۱	۰.۸	۰.۶	۱	۰.۸	۱	۰.۸	۲	
۰.۲	۰.۴	۰.۲	۰.۶	۱	۱	۱	۱	۰.۸	۰.۸	۱	۰.۸	۰.۶	۱	۱	۰.۸	۰.۴	۳	
۰.۸	۱	۱	۱	۰.۸	۱	۱	۱	۰.۸	۰.۸	۱	۱	۰.۴	۱	۱	۱	۱	۴	
۰.۲	۰.۶	۰.۲	۰.۶	۰.۸	۰.۶	۰.۶	۰.۶	۰.۶	۰.۶	۱	۰.۶	۰.۸	۱	۰.۴	۰.۶	۰.۶	۵	
۰.۴	۰.۸	۰.۲	۱	۰.۸	۰.۶	۰.۶	۰.۶	۰.۶	۰.۶	۰.۸	۱	۰.۸	۱	۰.۸	۰.۸	۰.۸	۶	
۰.۴	۰.۸	۰.۲	۰.۸	۰.۸	۰.۸	۰.۸	۰.۸	۰.۸	۰.۸	۱	۰.۸	۰.۶	۱	۰.۸	۰.۸	۰.۸	۷	
۰.۴	۰.۸	۰.۲	۰.۸	۰.۸	۰.۶	۰.۶	۰.۶	۰.۶	۰.۶	۰.۸	۰.۶	۰.۶	۱	۰.۸	۰.۸	۰.۸	۸	
۰.۴	۰.۶	۰.۴	۰.۶	۰.۶	۰.۸	۰.۸	۰.۸	۰.۸	۰.۸	۱	۰.۶	۰.۶	۰.۸	۰.۸	۰.۸	۰.۸	۹	
۰.۴	۰.۶	۰.۲	۰.۸	۰.۶	۰.۸	۰.۸	۰.۸	۰.۸	۰.۸	۰.۸	۰.۶	۰.۶	۱	۰.۸	۰.۸	۰.۸	۱۰	
۰.۴	۰.۶	۰.۲	۰.۸	۰.۶	۰.۸	۰.۸	۰.۸	۰.۸	۰.۸	۰.۸	۰.۶	۰.۶	۰.۶	۱	۰.۸	۰.۶	۱۱	
۰.۴	۰.۶	۰.۲	۰.۸	۰.۶	۰.۸	۱	۰.۸	۰.۸	۰.۸	۰.۸	۰.۶	۰.۶	۰.۶	۱	۰.۸	۰.۶	۰.۴	۱۲
۰.۶	۰.۸	۰.۶	۰.۶	۱	۰.۶	۰.۶	۰.۶	۰.۶	۰.۶	۰.۸	۰.۸	۰.۸	۰.۸	۱	۰.۸	۰.۸	۰.۸	۱۳
۰.۴	۰.۶	۰.۲	۰.۸	۰.۸	۰.۸	۰.۸	۰.۸	۰.۸	۰.۸	۰.۶	۰.۶	۰.۶	۱	۰.۸	۰.۴	۰.۴	۰.۴	۱۴
۰.۶	۰.۸	۰.۲	۱	۰.۶	۰.۸	۰.۸	۰.۸	۰.۸	۰.۸	۰.۸	۰.۶	۰.۶	۰.۶	۱	۰.۶	۰.۶	۰.۶	۱۵
۰.۶	۰.۶	۱	۰.۲	۰.۶	۰.۲	۰.۲	۰.۲	۰.۴	۰.۲	۰.۲	۰.۲	۰.۲	۰.۲	۱	۰.۲	۰.۲	۰.۲	۱۶
۰.۶	۱	۰.۶	۰.۸	۰.۸	۰.۶	۰.۶	۰.۶	۰.۶	۰.۶	۰.۸	۰.۸	۰.۸	۰.۸	۱	۰.۴	۰.۴	۰.۴	۱۷
۱	۰.۶	۰.۶	۰.۶	۰.۶	۰.۶	۰.۴	۰.۴	۰.۴	۰.۴	۰.۴	۰.۴	۰.۴	۰.۴	۰.۲	۰.۲	۰.۲	۰.۲	۱۸

(منبع: نگارنده‌گان، ۱۳۹۸)



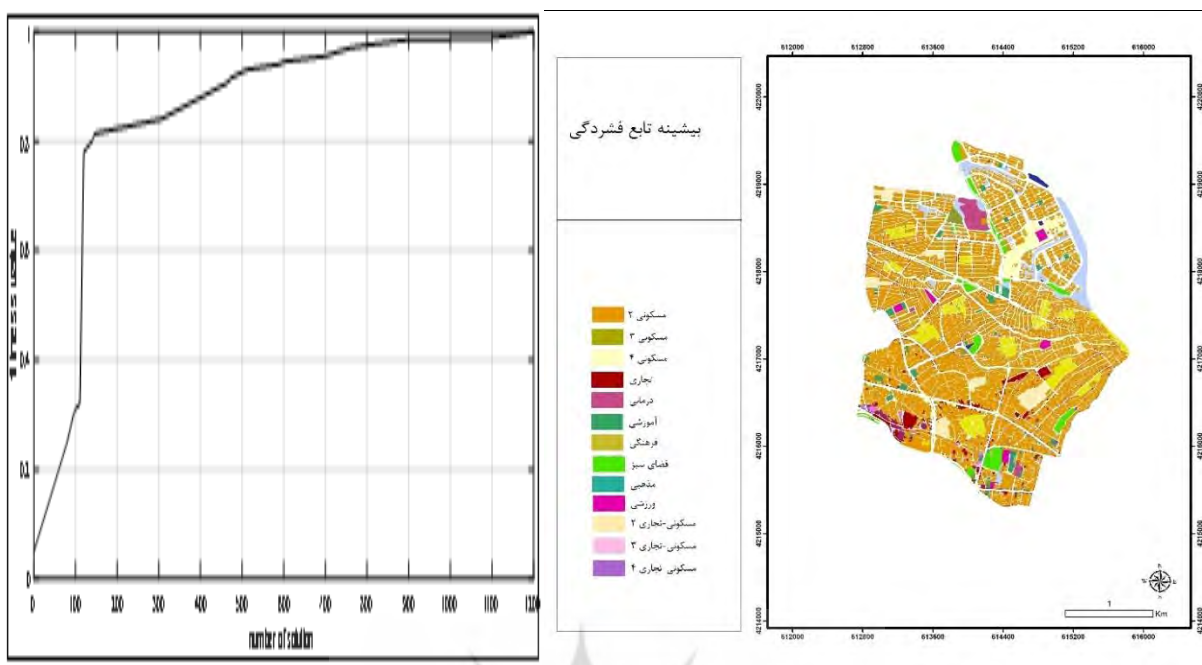
اشکال ۱۱ و ۱۲. بهترین جواب‌های بیشینه‌سازی سازگاری در هر تکرار نقشهٔ طبقه‌بندی شدهٔ بهترین جواب تابع بیشینه‌سازی سازگاری
(منبع: نگارندگان، ۱۳۹۸)

اراضی مشابه در همسایگی سلول (j ، i) ام و d فاصلهٔ
تا سلول مرکزی است. تابع برآنش مربوط به فشردگی
در محیط نرم‌افزار متلب، برنامه‌نویسی شده و با استفاده
از این تابع، برآورده از وضعیت فشردگی در منطقهٔ
موردمطالعه به دست آمد. اشکال ۱۳ و ۱۴ روند بهبود
بهترین جواب‌های یافت شده توسط الگوریتم برای تابع
بیشینه‌سازی فشردگی را در هر تکرار نشان می‌دهد.
تابع فشردگی پس از بهینه‌سازی به میزان ۴/۶ درصد
بهبود می‌یابد. هم‌چنین مقدار ماکریمم حاصل از تابع
نرمالیزه شده برابر با ۰/۹۹۵۸ است.

ت) بیشینه‌سازی فشردگی برای محاسبهٔ فشردگی بین کاربری‌های مختلف از رابطهٔ ۱۰ استفاده شده‌است (شاپرکان و همکاران، ۹۱۱: ۲۰۱۴):

$$f_3 = \max \left\{ \left[\sum_{j=d}^{i+d} \sum_{j-d}^{j+d} C_{cc'} \right] + \left[\sum_{j=d}^{i+d} \sum_{j-d}^{j+d} Com_c \right] \right\}$$

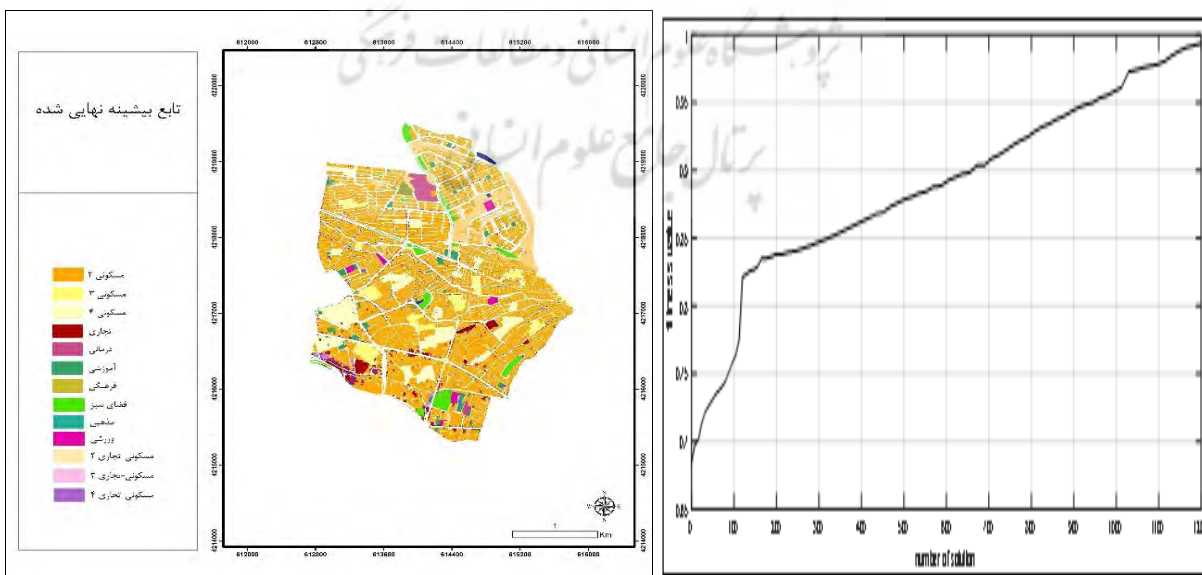
که در این رابطه، $C_{cc'}$ میزان سازگاری بین دو کاربری اراضی، Com_c تعداد سلول‌های با کاربری



اشکال ۱۳ و ۱۴. بهترین جواب‌های بیشینه‌سازی فشردگی در هر تکرار و نقشهٔ طبقه‌بندی شده بهترین جواب تابع بیشینه‌سازی فشردگی
(منبع: نگارندگان، ۱۳۹۸)

وضعیت حاصل شده از بهینه‌سازی این توابع است.
اشکال ۱۵ و ۱۶ روند بهبود بهترین جواب‌های یافت شده توسط الگوریتم برای هر چهار تابع را در هر تکرار نشان می‌دهد.

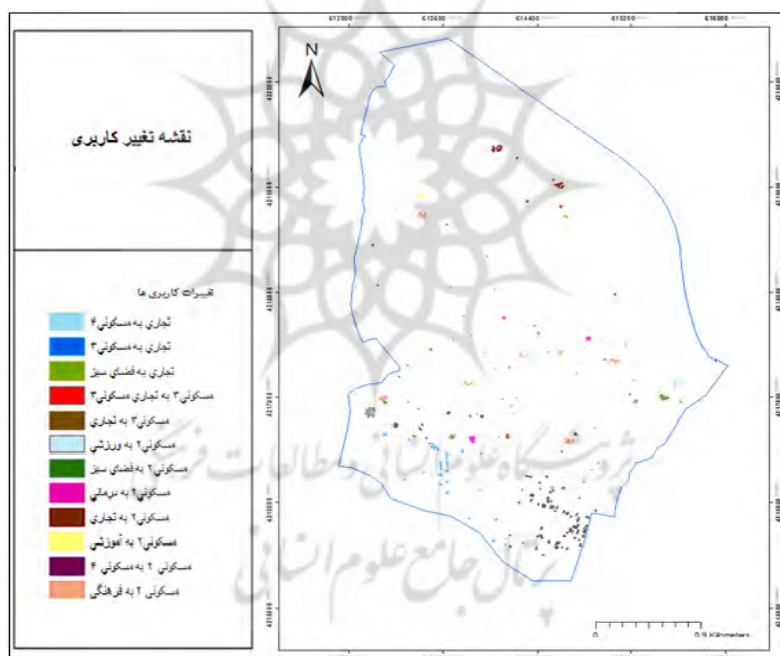
ث) تابع نهایی بهینه‌سازی شده
برای به دست آوردن تابع بهینه‌شده نهایی بعد از نرم‌المل سازی هر یک از توابع، با استفاده از روش مجموع وزنی اشاره شده در این قسمت و اعمال ضرایب وزنی توابع که در جدول ۵ بیان شده است، این تابع در محیط نرم‌افزار متلب برنامه‌نویسی شده و برآورده از



اشکال ۱۵ و ۱۶. بهترین جواب‌های بیشینه‌سازی تابع نهایی در هر تکرار و نقشهٔ طبقه‌بندی شده حاصل از بهینه‌سازی
(منبع: نگارندگان، ۱۳۹۸)

کاربری‌های مسکونی به کاربری‌های مذکور، افزایش یافته است و کمبود کاربری‌های آموزشی و ورزشی در قسمت‌های شمالی و شرقی تا حدودی جبران شده است. همچنین در بخش‌های مرکزی و جنوبی، کاربری فضای سبز بیشتر شده و برخی کاربری‌های تجاری اطراف مراکز آموزشی به علت ناسازگاری به کاربری مسکونی تغییر یافته است. با توجه به اثر تابع FAR مشاهده می‌کنیم که در برخی نقاط، کاربری‌های مسکونی دو طبقه به کاربری مسکونی چهار طبقه تغییر یافته است و کاربری فرهنگی در مناطق مسکونی بیشتر شده است (شکل ۱۷).

در صورت بهینه‌سازی مقدار تابع FAR با حالت بهینه‌شده $13/0^{\circ}4$ درصد است. همچنین در صورت بهینه‌سازی، سود اقتصادی در منطقه $21/0^{\circ}6$ درصد افزایش می‌باید و تابع سازگاری و فشردگی بین کاربری‌ها به ترتیب $2/3$ و $4/6$ درصد افزایش می‌باید. با توجه به مطالب فوق می‌توان نتیجه گرفت که با استخراج نقشه تغییرات حاصل از خروجی مدل و شرایط فعلی آرایش فضایی بهینه کاربری اراضی در این مدل با کاربری اراضی فعلی تفاوت نه چندان معنی دارد، بلکه تفاوت نسبتاً محسوسی وجود دارد. همان‌طور که نقشه تغییرات گویای آن است مشاهده می‌کنیم که تعداد کاربری‌های تجاری و تجاری-مسکونی با تبدیل



شکل ۱۷. نقشه تغییرات شرایط بهینه و شرایط فعلی

(منبع: نگارندگان، ۱۳۹۸)

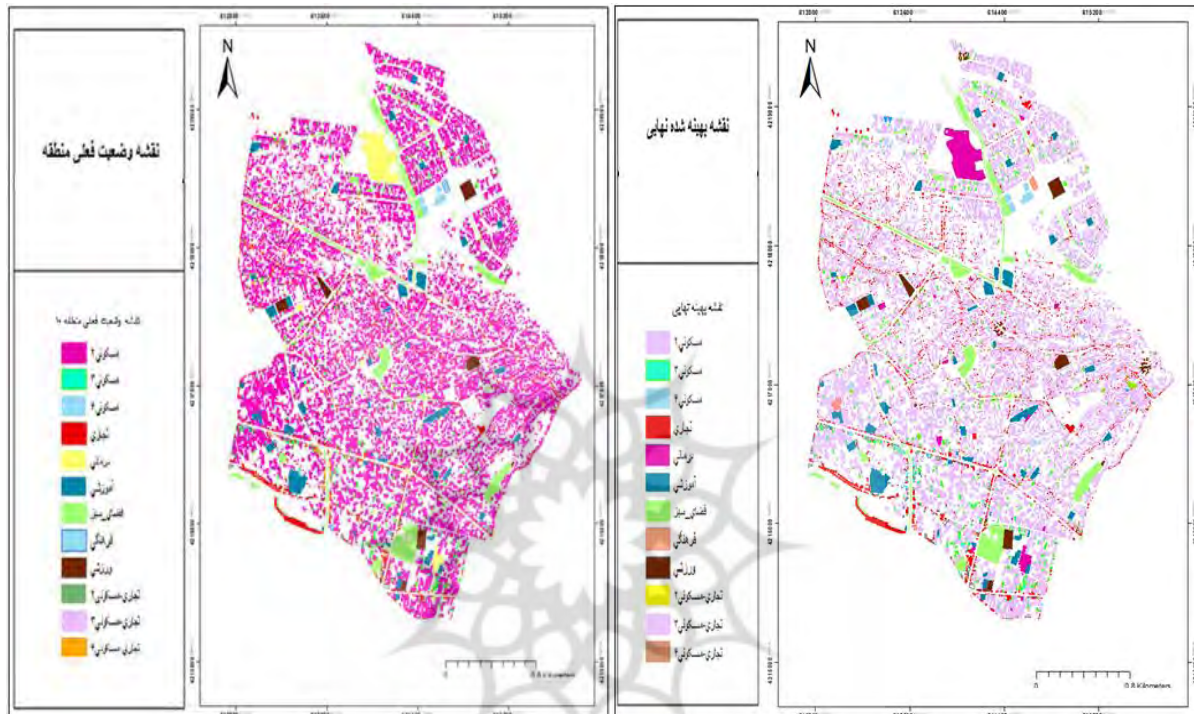
می‌تواند آرایش بهینه کاربری اراضی را بیان کند. همچنین با مقایسه مقدار توابع قبل و بعد از بهینه‌سازی که در جدول ۷ به آن‌ها اشاره شده و همچنین اشکال ۱۸ و ۱۹ می‌توان به این مورد پی‌برد.

همچنین با توجه به شکل ۲۰ که نمایشی از نقشه طبقه‌بندی‌شده حاصل از بهینه‌سازی منطقه مورد مطالعه است، می‌توان گفت که تلفیق روش‌های سیستم اطلاعات جغرافیایی و الگوریتم NSGA-II

جدول ۷. مقایسه خروجی مدل با اعداد تابع هدف در وضعیت فعلی

تابع هدف	مقدار فعالی (بدون نرمال‌سازی)	مقدار حاصل از الگوریتم (بدون نرمال‌سازی)	درصد بهبود
f_1	۸۵۶۵۲۳/۰۳	۹۶۸۲۴۶	۱۳/۰۴
f_2	۹۵۶	۲۰۱/۳۳	۲۱/۰۶
f_3	۷۶	۹۸/۲۱	۲/۳
f_4	۴۰۹	۱۸/۸۱۴	۴/۶

(منبع: نگارندگان، ۱۳۹۸)



شکل ۱۸ و ۱۹. بهترین نقشه وضعیت فعلی منطقه و نقشه نهایی حاصل از بهینه‌سازی

(منبع: نگارندگان، ۱۳۹۸)

در صورت بهینه‌سازی، مقدار تابع FAR با حالت بهینه‌شده ۱۳/۰۴ درصد است. همچنین در صورت بهینه‌سازی، سود اقتصادی در منطقه، ۲۱/۰۶ درصد افزایش می‌یابد و تابع سازگاری و فشردگی بین کاربری‌ها بهترین ۴/۶ و ۲/۳ درصد افزایش می‌یابد. همچنین مطابق با نقشه بهینه کاربری اراضی، این مدل با کاربری اراضی فعلی تفاوت نه‌چندان معنی‌دار، بلکه نسبتاً محسوسی دارد. مطابق با تابع نهایی بهینه‌سازی شده، تعداد کاربری‌های تجاری و تجاری-مسکونی با تبدیل کاربری‌های مسکونی به کاربری‌های مذکور، افزایش یافته‌است و کمبود کاربری‌های آموزشی

نتیجه‌گیری

بهینه‌سازی تخصیص کاربری اراضی، از جمله بهترین روش‌های حفاظت محیط زیست است که علاوه‌بر آن، موجبات منافع اقتصادی، اجتماعی و غیره را نیز فراهم‌می‌آورد که در این بین، الگوریتم زنگنه به دلیل سرعت بالا، سهولت نسبی و توانایی حل مسئله با درنظر گرفتن اهداف متضاد به عنوان مناسب‌ترین مدل بهینه‌سازی تخصیص کاربری اراضی است؛ از همین‌رو در این پژوهش، به منظور بهینه‌سازی تخصیص کاربری اراضی منطقه ۱۰ کلان شهر تبریز، از الگوریتم زنگنه استفاده شده است. نتایج این پژوهش نشان می‌دهد که

خیرخواه و همکاران (۱۳۹۸) و لئو و همکاران (۲۰۱۲) از نامناسب‌بودن الگوریتم ژنتیک برای بهینه‌سازی تخصیص کاربری اراضی سخن گفته‌اند. در مورد تفاوتی که این پژوهش با پژوهش‌های دیگر دارد؛ می‌توان به تبدیل نتایج مبتنی بر پیکسل به صورت قطعاتی (پارسل) موجود در منطقه، مدنظر قراردادن تراکم ساختمانی (FAR) به عنوان یک تابع هدف و به کارگیری توابع غیرخطی به جای توابع خطی، اشاره کرد.

پیشنهادها

از جمله محدودیت‌های تحقیق می‌توان به نبود سخت‌افزار قوی برای محاسبات سنگین اشاره کرد تا باعث کاهش زمان محاسباتی شود. طراحی عملکردن تقاطع دو بُعدی می‌بایست به گونه‌ای باشد که مساحت بلوک انتخابی نه آن قدر بزرگ باشد که جواب مسئله را از حالت موجه یا نزدیک به موجه دور کند و نه آنقدر کوچک که تأثیری داشته باشد. از آنجاکه تغییر کاربری اراضی در جهان واقعی به این صورت است که افزایش مساحت یک کاربری به کاهش مساحت کلاس دیگر منجر می‌شود، اگر عملکردن تقاطعی با توجه به این اصل طراحی شود، به احتمال زیاد نتایج بهتری به دست خواهد آمد. یکی از محدودیت‌ها، محدودیت حداقل و حداًکثر مساحت مجاز هر کاربری است. برای درنظر گرفتن این محدودیت بایستی مطالعات اقتصادی و اجتماعی خاصی صورت بگیرد و براساس نیازها، اقدام به برنامه‌ریزی کرد. هر کاربری علاوه‌بر اقتصاد بازاری، دارای اقتصادی غیر بازاری نیز است. برای کارهای آینده پیشنهاد می‌شود علاوه‌بر درنظر گرفتن منفعت اقتصاد بازاری، به منفعت اقتصاد غیر بازاری کاربری‌ها نیز توجه شود. همچنین نیاز است روالی تعریف شود که با استفاده از مکانیسم مکانی، تعداد مناسبی جواب از بین N جواب نهایی به دست آید.

و ورزشی در قسمت‌های شمالی و شرقی تا حدودی جبران شده‌است. در بخش‌های مرکزی و جنوبی، کاربری فضای سبز بیشتر شده و برخی کاربری‌های تجاری اطراف مراکز آموزشی به علت ناسازگاری، به کاربری مسکونی تغییر کاربری یافته‌است. با توجه به اثر تابع FAR در برخی نقاط، کاربری‌های مسکونی دو طبقه به کاربری مسکونی چهار طبقه تغییر یافته‌است و کاربری فرهنگی در مناطق مسکونی بیشتر شده‌است. نهایتاً می‌توان گفت که تلفیق روش‌های سیستم اطلاعات جغرافیایی و الگوریتم NSGA-II، می‌تواند آرایش بهینه کاربری اراضی را بیان کند. این پژوهش با تحقیقات انجام‌شده در این راستا، با الگوریتم ژنتیک شباهت‌ها و تفاوت‌هایی را نشان می‌دهد؛ در مورد شباهت‌های این تحقیق با تحقیقات قبلی می‌توان به پژوهش‌های زیر اشاره کرد؛ از جمله: پژوهش کامیاب و همکاران (۱۳۹۵) (نتایج نشان داد که در مقایسه با روش MOLA که تنها به تناسب سلولی زمین نوجه دارد، تخصیص کاربری با الگوریتم ژنتیک اکوسیستمی منجر به بهبود قابل ملاحظه‌ای در شاخص‌های سیمای سرزمینی شده‌است) و سدیدی و درواری (۱۳۹۶) (الگوهای کاربری پیشنهادشده در این مدل می‌تواند سطح منفعت اقتصادی منطقه را در حدود ۴۸ درصد افزایش دهد)، در عرصه داخلی و لی و پاروت (۲۰۱۶) (الگوریتم ژنتیک پیشرفت GA پیشنهادی از توانایی خوبی برخوردار است و می‌تواند هر سناریوی بهینه کاربری اراضی را مطابق با اهداف ترجیحی ذی‌نفعان ایجاد کند) و دوزی سرخابی و همکاران (۲۰۱۶) (یک الگوریتم تکاملی احتمالی NSGA-II) مشکل بهینه‌سازی را حل می‌کند؛ در حالی که محدودیت‌های کاربری اراضی با عملکردهای جبرانی ایستا و پویا کنترل می‌شود) که همانند این پژوهش به مناسب‌بودن این روش برای بهینه‌سازی تخصیص کاربری اراضی اذعان کرده‌اند؛ اگرچه برخی تحقیقات نیز مانند پژوهش

منابع

الگوریتم NSGA-II، فصلنامه علمی - پژوهشی سنجش از دور و GIS ایران (انجمن سنجش از دور و GIS ایران)، دوره ۴، شماره ۲، ص ۱۸-۱.

<http://gisj.sbu.ac.ir/article/view/1177>

علایی مقدم، سانا؛ کریمی، محمد؛ محمدزاده، علی. (۱۳۹۴). مدل سازی تخصیص کاربری های شهری با استفاده از الگوریتم ژنتیک مرتب سازی نامغلوب نقطه مرجع، نشریه علمی- پژوهشی علوم و فنون نقشه برداری (انجمن علمی مهندسی نقشه برداری و ژئوپردازی ایران)، ۴(۴)، ص ۶۶-۴۷.

http://jgst.issge.ir/browse.php?a_id=63&sid=1&slc_lang=fa

کریمی، محمد. (۱۳۸۹). توسعه روش های تصمیم گیری چند معیاره مکانی برای تعیین کاربری و پوشش مطلوب سرزمین، رساله دکتری، استاد راهنمای: محمدمولی شریفی و محمد سعدی مسگری، دانشگاه صنعتی خواجه نصیرالدین طوسی، دانشکده نقشه برداری.

<https://ganj-old.irandoc.ac.ir/articles/514906>

کامیاب، حمیدرضا؛ سلمان ماهینی، عبدالرسول؛ شهرآینی، محمد. (۱۳۹۵). مقایسه تخصیص اکو سیستمی کاربری سرزمین با استفاده از الگوریتم ژنتیک و رویکرد تخصیص چند هدفه، دو فصلنامه علمی پژوهش های محیط زیست (انجمن ارزیابی محیط زیست ایران)، دوره ۷، شماره ۱۴، ص ۱۶۸-۱۵۷.

http://www.iraneiap.ir/article_45235.html

معصومی، زهره؛ منصوریان، علی؛ مسگری، محمد سعدی. (۱۳۸۹). کاربرد الگوریتم ژنتیک چند هدفه در مطالعات مکانیابی کاربری های صنعتی، فصلنامه علمی - پژوهشی سنجش از دور و GIS ایران (انجمن سنجش از دور و GIS ایران)، دوره ۲، شماره ۴، ص ۲۲-۱.

<http://gisj.sbu.ac.ir/article/view/1142>

مهندسين مشاور نقش محيط. (۱۳۹۱). طرح توسيعه و عمران (جامع) شهر تبريز، گزارش مطالعات كالبدی مرحله موجود، وزارت راه و شهرسازی، اداره كل راه و شهرسازی استان آذربایجان شرقی.

مهندسين مشاور نقش محيط. (۱۳۹۱). طرح توسيعه و عمران (جامع) شهر تبريز، گزارش محيطی مرحله موجود، وزارت راه

ابراهيمnia. وحیده؛ رسولی. مژگان؛ زندیه. سمیه. (۱۳۸۸). روش ها و مدل های تخصیص کاربرد زمین، مجله معماری و شهرسازی آرمان شهر (دکتر مصطفی بهزادفر)، ۲(۲)، ص ۲۲-۹.

http://www.armanshahrjournal.com/article_32157.html

تناسان، محمد. (۱۳۹۴). طراحی مدل مدیریت کاربری اراضی مبتنی بر الگوریتم NSGA-II با رویکرد مدیریت رواناب سطحی در بستر GIS، پژوهه تحقیقاتی، استادان راهنمای: مهندس سید حسن مهدوی فر و مهندس اصغر شجاعی، بنیاد نخبگان نیروهای مسلح، وزارت نیرو، شرکت مدیریت منابع آب ایران.

حسینی، سید موسی؛ زهرا، بنفسه. (۱۳۹۳). الگوریتم ژنتیک و بهینه سازی مهندسی، تهران: انتشارات گوتبرگ.

خیر خواه، آرزو؛ معماریان، هادی؛ تاجبخش، سید محمد. (۱۳۹۸). مقایسه الگوریتم ژنتیک و برنامه ریزی خطی برای حل مسائل بهینه سازی کاربری اراضی حوزه های آبخیز، نشریه مهندسی و مدیریت آبخیز (پژوهشکده حفاظت خاک و آبخیزداری)، دوره ۱۱، شماره ۱، ص ۲۶۳-۲۵۲.

https://jwem.areeo.ac.ir/article_118435.html
رضویان، محمد تقی. (۱۳۸۱). برنامه ریزی کاربری اراضی شهری، تهران: انتشارات منشی.

سلمان ماهینی، عبدالرسول؛ اسداللهی، زهرا؛ سعید صباحی، مریم؛ کامیاب، حمیدرضا؛ نصیر احمدی، کامران. (۱۳۹۳). مقایسه روش های شبیه سازی تبرید تدریجی و اختصاص چند هدفه زمین در گزینش بهینه کاربری های اراضی، فصلنامه بوم شناسی کاربردی (دانشگاه صنعتی اصفهان)، دوره ۳، شماره ۹، ص ۱۳-۱.

https://ijae.iut.ac.ir/browse.php?a_code=A-10-1-61&sid=1&slc_lang=fa
سدیدی، جواد؛ درواری، سیده زهرا. (۱۳۹۶). ارائه مدل توسعه یافته فرا ابتکاری مبتنی بر الگوریتم ژنتیک چند هدفه جهت مدل سازی تغییر بهینه کاربری اراضی، فصلنامه برنامه ریزی و آمایش فضای (دانشگاه تربیت مدرس)، دوره ۲۱، شماره ۳، ص ۳۲۷-۳۰۷.

<https://hsmsp.modares.ac.ir/article-21-4654-fa.html>
شایگان، مهران؛ علی محمدی، عباس؛ منصوریان، علی. (۱۳۹۱). بهینه سازی چند هدفه تخصیص کاربری اراضی با استفاده از

Deb, K., Mohan, M., Mishra, S. (2005). Evaluating the ε -domination based on multiobjectives evolutionary algorithm for a quick computation of pareto-optimal solutions, *Journal of evolutionary computation*, 13(4): 501-525.

<https://www.mitpressjournals.org/doi/abs/10.1162/106365605774666895>

Datta, D.(2007). Multi-Objective Evolutionary Algorithms for Resource Allocation Problems, Ph.D. Thesis, Department of Mechanical Engineering, Indian Institute of Technology Kanpur (IIT-Kanpur), Indian.

Douzi Sorkhabi, S. Y., Romero, D. A., Yan, G. K., Gu, M. D., Moran, J., Morgenroth, M., Amon, C. H. (2016). The impact of land use constraints in multi-objective energy-noise wind farm layout optimization, *Renewable Energy*, 85: 359-370.

<https://www.sciencedirect.com/science/article/abs/pii/S0960148115300495>

Deng, X. Z., Huang, J. K., Rozelle, S., Uchida, E. (2008). Growth, population and industrialization, and urban land expansion of China, *Journal of Urban Economics*, 63(1): 96–115.

<https://www.sciencedirect.com/science/article/abs/pii/S0094119007000022>

Deng, X. Z., Huang, J. K., Rozelle, S., Zhang, J. P., Li, Z. H. (2015). Impact of urbanization on cultivated land changes in China, *Land Use Policy*, 45: 1–7.

<https://www.sciencedirect.com/science/article/abs/pii/S0264837715000101>

Holland, J.H. (1975). Adaptation in natural and artificial systems: an introductory analysis with applications to biology, control, and artificial intelligence. University of Michigan Press, Ann Arbor, 183 pages.

Huang, Z. H., Du, X. J., Castillo, C. S. Z. (2019). How does urbanization affect farmland protection? Evidence from China, *Resources, Conservation and Recycling*, 145: 139–147.

<https://www.sciencedirect.com/science/article/abs/pii/S0921344918304798>

Herzig, A. (2008). A GIS-based module for the multi objectives optimization of areal resource allocation. In Friis. Proceedings of the 11th AGILE International Conference on Geographic Information Science, University of Girona, Spain.

Long, H. L., Tang, G. P., Li, X. B., Heilig, G. K. (2007). Socio-economic driving forces of land-use

و شهرسازی، اداره کل راه و شهرسازی استان آذربایجان شرقی.

Amundson, R., Berhe, A.A., Hopmans, J.W., Olson, C., Sztein, A.E., Sparks, D.L. (2015). Soil and human security in the 21st century, *Science*, 348(6235): 647-654.

<https://science.sciencemag.org/content/348/6235/1261071>

Bryan, B.A., Gao, L., Ye, Y., Sun, X., Connor, J.D., Crossman, N.D., Stafford-Smith, M., Wu, J., He, C., Yu, D., Liu, Z., Li, A., Huang, Q., Ren, H., Deng, X., Zheng, H., Niu, J., Han, G., Hou, X. (2018). China's response to a national landsystem sustainability emergency, *Nature*, 559: 193–204.

<https://www.nature.com/articles/s41586-018-0280-2/>

Beheshtifar, S. (2014). Design and implement of a simultaneous location-allocation model of different service centers using evolutionary algorithms. PhD Thesis. Faculty of Geodesy and Geomatics. K. N. Toosi University of Technology. Tehran. Iran.

Beady, D., Bull, D.R., Martin, R. R. (1993). An Overview of Genetic Algorithms: Part1, Fundamentals: University Computing., 15: 58-69.

Coello, C.A. (2002). Introduction to Evolutionary Multi-objective Optimization, Lecture notes, Depto, de Ingeniería Eléctrica, Sección de Computación, Instituto Politécnico Nacional, MEXICO.

Chen, J., Long, H., Liao, L., Tu, S., Li, T. (2020). Land use transitions and urban-rural integrated development: Theoretical framework and China's evidence, *Land Use Policy*, 92: 1-12.

<https://www.sciencedirect.com/science/article/abs/pii/S0264837719318411>

Deb, K., Agrawal, S., Pratap, A., Agarwal, S., Meyarivan, T. (2001). A Fast and Elitist Multiobjective Genetic Algorithm: NSGA-II, *IEEE Transactions on Evolutionary Computation*, 6(2):182-197.

<https://ieeexplore.ieee.org/abstract/document/996017>

Deb, K., Pratap, A., Agarwal, S., Meyarivan, T. A. M. T. (2002). A fast and elitist multiobjective genetic algorithm: NSGA-II, *IEEE transactions on evolutionary computation*, 6(2), 182-197.

<https://ieeexplore.ieee.org/abstract/document/996017>

- Macro, K., Matott, L. S., Rabideau, A., Ghodsi, S. H., Zhu, Z. (2018). A New Multi-Objective Optimization Tool for Green Infrastructure Planning with SWMM, Environmental Modelling and Software, 113:42-47.
- <https://www.sciencedirect.com/science/article/abs/pii/S1364815218307515>
- Song, W., Pijanowski, B. C., Tayyebi, A. (2015). Urban expansion and its consumption of high-quality farmland in Beijing, China, Ecological Indicators, 54: 60–70.
- <https://www.sciencedirect.com/science/article/abs/pii/S1470160X15000928>
- Serra, P., Pons, X., Saurí, D. (2008). Land-cover and land-use change in a Mediterranean landscape: a spatial analysis of driving forces integrating biophysical and human factors, Applied Geography, 28: 189–209.
- <https://www.sciencedirect.com/science/article/abs/pii/S014362280800012X>
- Shaygan, M., Alimohammadi, A., Mansourian, A., Govara, Z. S., Kalami, S. M. (2014). Spatial multi-objective optimization approach for land use allocation using NSGA-II, IEEE Journal of Selected Topics in Applied Earth Observations and Remote Sensing, 7(3): 873–883.
- <https://ieeexplore.ieee.org/abstract/document/6676851>
- Sheta, A., Turabieh, H. (2006). A comparison between genetic algorithms and sequential quadratic programming in solving constrained optimization problems, International Journal on artificial intelligence and machine learning (AIML), 6(1): 67-74.
- Stewart, T., Janssen, R., Herwijnen, M. (2004). A genetic algorithm approach to multi objective landuse planning, Computers & Operations Research, 31(14): 2293-2313.
- <https://www.sciencedirect.com/science/article/abs/pii/S0305054803001886>
- Strauch, M., Cord, A. f., Pätzold, C., Lautenbach, S., Kaim, A., Schweitzer, C., Seppelt, R., Volk, M. (2019). Constraints in multi-objective optimization of land use allocation – Repair or penalize?, Environmental Modelling & Software, 118:241-251.
- <https://www.sciencedirect.com/science/article/abs/pii/S1364815218311204>
- Taleai, M. (2007). GIS-based planning support system for urban land use externalities evalutation, change in Kunshan, the Yangtze River Delta economic area of China, Journal of Environmental Management, 83: 351–364.
- <https://www.sciencedirect.com/science/article/pii/S0301479706001241>
- Long, H.L. (2012). Land use transition and rural transformation development, Progress in Geography 31 (2): 131–138.
- <http://www.progressingeography.com/EN/abstract/abstract12371.shtml>
- Long, H.L., Qu, Y. (2018). Land use transitions and land management: a mutual feedback perspective. Land Use Policy, 74: 111–120.
- <https://www.sciencedirect.com/science/article/abs/pii/S0264837716312133>
- Liu, X., Li, X., Shi, X., Huang, K., Liu, Y. (2012). A multi-type ant colony optimization (MACO) method for optimal land use allocation in large areas, International Journal of Geographical Information Science, 26(7):1325–1343.
- <https://www.tandfonline.com/doi/abs/10.1080/13658816.2011.635594>
- Liu, J., Mooney, H., Hull, V., Davis., S. J., Gaskell, J., Hertel, T., Lubchenco, J., Seto, K.C., Gleick, P., Kremen, C., Li, S. (2015). Systems integration for global sustainability. Science, 347 (6225).
- <https://science.sciencemag.org/content/347/6225/1258832>
- Li, X., Parrott, L.(2016). An improved Genetic Algorithm for spatial optimization of multi-objective and multi-site land use allocation, Computers, Environment and Urban Systems, 59: 184-194.
- <https://www.sciencedirect.com/science/article/abs/pii/S0198971516301223>
- Masoomi, Z. (2014). Modeling of the Physical effects of urban land use changes using optimization algorithms and spatial analysis, PhD Thesis. Faculty of Geodesy and Geomatics. K. N. Toosi University of Technology. Tehran. Iran.
- Masoomi, Z., Maleki, J., Mesgari, M.S., Mansourian, A.(2016). Using an Evolutionary Algorithm in Multiobjective Geographic Analysis for Land Use Allocation and Decision Supporting, Geographical Analysis, 1-26.
- <https://onlinelibrary.wiley.com/doi/abs/10.1111/gean.12111>

Scussolini,P., Winsemius, H. C. (2017). A global framework for future costs and benefits of river-flood protection in urban areas, Nature Climate Change, 7(9): 642–646.

<https://www.nature.com/articles/nclimate3350>

Ziari, K. (2009). urban land use planning, Eighth Edition (Second Edition Tehran University), publisher of Tehran University.

PhD Thesis. Faculty of Geodesy and Geomatics. K. N. Toosi University of Technology. Tehran. Iran.

<https://www.sciencedirect.com/science/article/abs/pi/S1364815218311204>

Ward, P. J., Jongman, B., Aerts, J. C. J. H., Bates, P. D., Botzen, W. J. W., Diaz Loaiza, A., Hallegatte,S., Kind, J.M., Kwadijk,J.,





پژوهشگاه علوم انسانی و مطالعات فرهنگی
پرستال جامع علوم انسانی